

## TRANSPORT D'ENERGIE

### ❖ Transfert de Chaleur

- ◆ Modes d'échange énergétique
- ◆ Sciences pures
- ◆ Applications technologiques

### ❖ Quantités Fondamentales

- ◆ Chaleur [ J ] ou [ W ]
- ◆ Différence de température [ °C ] , [ K ]

### ❖ Thermodynamique

- ◆ Chaleur & Travail: 1<sup>er</sup> Principe
- ◆  $\Delta T \rightarrow$  Flot d'énergie: 2<sup>em</sup> Principe



# TRANSPORT D'ENERGIE

## ❖ Conduction

- ◆ Interactions particulières
- ◆ Conductibilité ou conductivité  $k$



## ❖ Convection

- ◆ Fluide en mouvement
- ◆ Présence d'une paroi à  $T \neq T_f$
- ◆ Coefficient de transfert  $h$

## ❖ Rayonnement thermique

- ◆ Ondes électromagnétiques
- ◆ Emission / Absorption

## ☞ En pratique

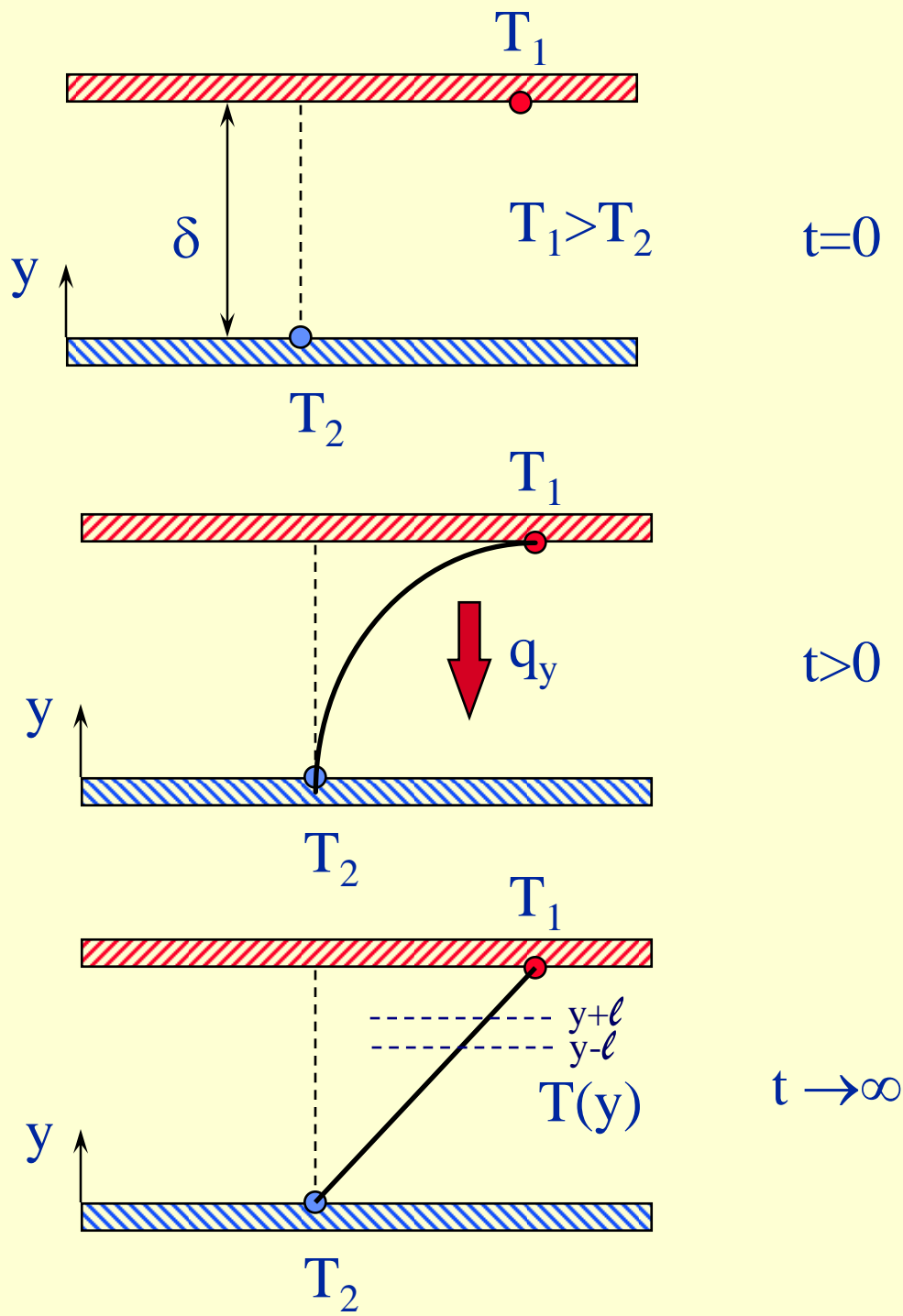
Combinaison des trois modes



# TRANSPORT D'ENERGIE

## *CONDUCTION*

- ❖ Nappe gazeuse immobile



## PHENOMENES DE TRANSPORT

### TRANSPORT D'ENERGIE

#### *CONDUCTION*

- ❖ Agitation des molécules

$$\frac{1}{2}m\tilde{v}^2 = \frac{3}{2}\kappa_b T$$



- ❖  $\Delta$ Énergie cinétique  $\equiv$  Chaleur

$$\frac{1}{2}\dot{n}m[\tilde{v}_{y-\ell}^2 - \tilde{v}_{y+\ell}^2] = q_y$$

$$q_y = \frac{3}{2}\kappa_b \dot{n} [T_{y-\ell} - T_{y+\ell}]$$

$$q_y = -[3\dot{n}\kappa_b \ell] \cdot \frac{dT}{dy}$$

- ❖ Loi de Fourier

$$q_y = -k \cdot \frac{dT}{dy}$$



## PHENOMENES DE TRANSPORT

### TRANSPORT D'ENERGIE

#### *CONDUCTION*

- ❖ Loi de Fourier vectorielle

$$\vec{q} = -k \cdot \nabla T$$

- ❖ Densité de flux de chaleur

$$\vec{q} \equiv \left[ \begin{array}{c} W \\ m^2 \end{array} \right]$$

- ❖ Conductibilité thermique

$$k \equiv \left[ \begin{array}{c} W \\ m \cdot K \end{array} \right]$$

☞  $k = k$  (matériau)

☞  $k = k (T)$



## PHENOMENES DE TRANSPORT

# TRANSPORT D'ENERGIE

## *CONDUCTION*

- ❖ Conductibilité des gaz  $k \propto \sqrt{T}$

Gaz à 20°C	Helium	Air	Fréon 12
k [W/m.K]	0,17	0,026	0,007

- ❖ Conductibilité des liquides

Liquide	Sodium	Eau	huile
k [W/m.K]	80	0,6	0,14

- ❖ Conductibilité des solides

Solide	Cuivre	Pierre	Bois
k [W/m.K]	390	3	0,15

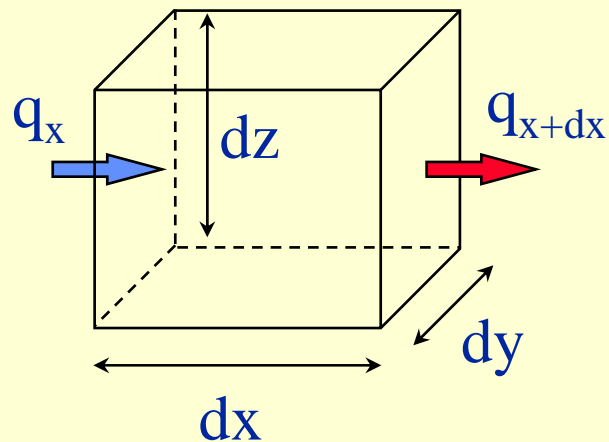


# TRANSPORT D'ENERGIE

## *CONDUCTION*

- ❖ Equation générale de la chaleur

Taux de variation de l'énergie interne	+	Chaleur sortante - entrante	=	Source et Puits
--	---	-----------------------------	---	-----------------



- ☞ Variation de l'énergie interne

$$(\rho \cdot dxdydz) C \frac{\partial T}{\partial t}$$

Chaleur spécifique  $C \equiv [ J / kg.K ]$



## TRANSPORT D'ENERGIE

### *CONDUCTION*

☞ Bilan calorifique spatial

- ◆ Direction Ox

$$\left[ \left( q_x + \frac{\partial q_x}{\partial x} dx \right) - q_x \right] \cdot dy dz = \frac{\partial q_x}{\partial x} dx \cdot dy dz$$

- ◆ Direction Oy et Oz

$$\frac{\partial q_y}{\partial y} dy \cdot dx dz \quad \text{et} \quad \frac{\partial q_z}{\partial z} dz \cdot dx dy$$

☞ Bilan thermique total

$$\rho C \frac{\partial T}{\partial t} + \left[ \frac{\partial q_x}{\partial x} + \frac{\partial q_y}{\partial y} + \frac{\partial q_z}{\partial z} \right] = \dot{Q}_v$$

Source ou puits  $\dot{Q}_v \equiv [W/m^3]$

- ◆ Forme générale

$$\rho C \frac{\partial T}{\partial t} + \nabla \cdot \vec{q} = \dot{Q}_v$$



## PHENOMENES DE TRANSPORT

# TRANSPORT D'ENERGIE

## CONDUCTION

- ❖ Equation thermique ou de la chaleur
  - ☞ Introduction de la loi de Fourier

$$\frac{\partial T}{\partial t} = \nabla \cdot (\alpha \nabla T) + \frac{\dot{Q}_v}{\rho C}$$

- ☞ Diffusivité thermique

$$\alpha = \frac{k}{\rho C} \equiv \left[ \frac{\text{m}^2}{\text{s}} \right]$$

Matériau	$\alpha$ [mm <sup>2</sup> /s]
Métaux solides	4 - 200
Métaux liquides	5 - 60
Solides non-mét.	0,1 - 2
Eau	0,14
Air	20



## PHENOMENES DE TRANSPORT

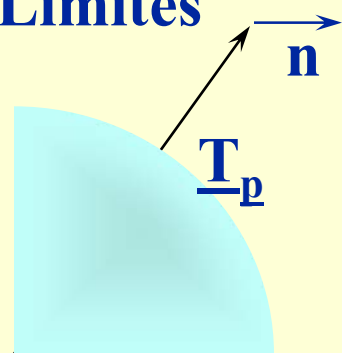
# TRANSPORT D'ENERGIE

## *CONDUCTION*

### Conditions aux Limites

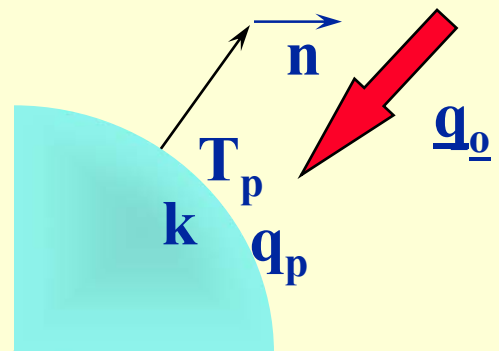
❖ **Dirichlet**

$$T_p = T_o(\vec{s}_p, t)$$



❖ **Neuman**

$$q_p = -k \frac{\partial T}{\partial n} \Big|_p = q_o(\vec{s}_p, t)$$

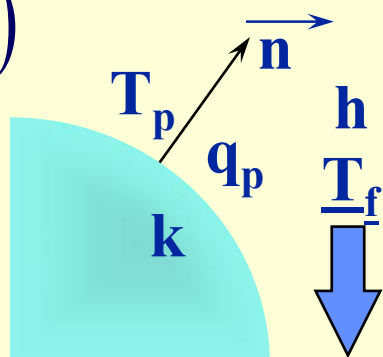


❖ **Mixte**

$$q_p = -k \frac{\partial T}{\partial n} \Big|_p = h (T_p - T_f)$$

◆ **Coefficient Convectif**

$$h = [\text{W}/\text{m}^2 \cdot \text{K}]$$



# PHENOMENES DE TRANSPORT

## TRANSPORT D'ENERGIE

### CONDUCTION

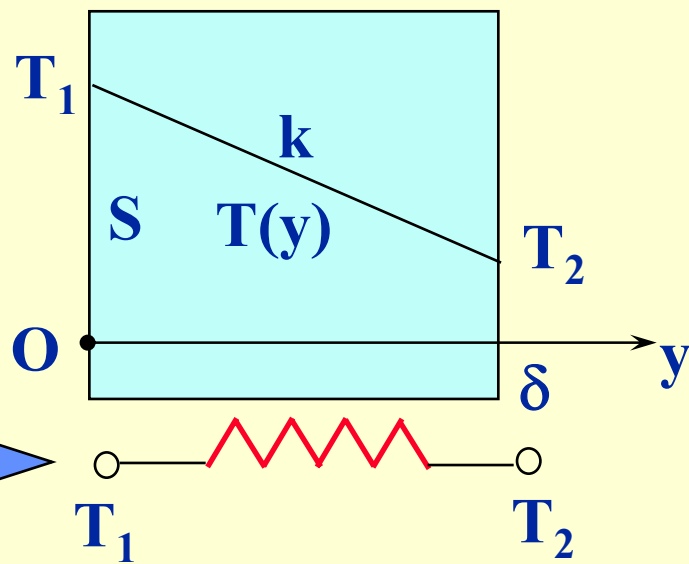
❖ Conduction morte stationnaire

☞ Mur plan

$$\frac{d}{dy} \left( k \frac{dT}{dy} \right) = 0 \quad \Rightarrow -k \frac{dT}{dy} = C^{te}$$

☞ Profil de  $T$  linéaire si  $k = \text{constante}$

$$q_y = k \frac{T_1 - T_2}{\delta}$$



$$\dot{Q} = qS \quad \xrightarrow{\text{Diagram}} \quad \text{R}_\text{th} = \frac{\delta}{kS} = \frac{T_1 - T_2}{\dot{Q}}$$

**Résistance thermique**



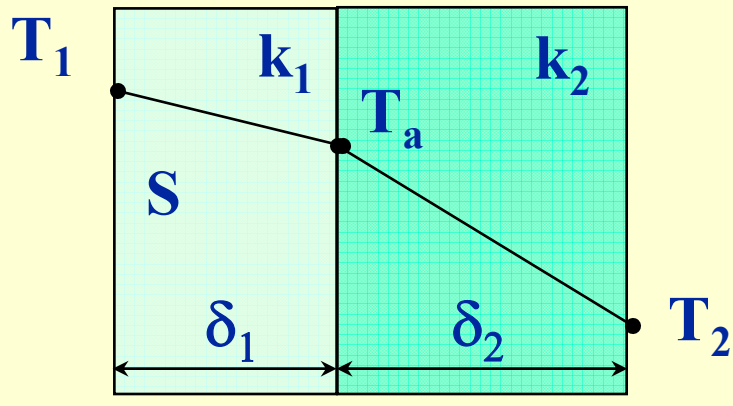
# PHENOMENES DE TRANSPORT

## TRANSPORT D'ENERGIE

### *CONDUCTION*

❖ Mur plan composite

☞ Résistances en série



$$\dot{Q} = \frac{T_1 - T_a}{\mathfrak{R}_{th,1}} = \frac{T_a - T_2}{\mathfrak{R}_{th,2}}$$

☞ Formulation générale

$$\mathfrak{R}_{th,tot} = \frac{T_1 - T_2}{\dot{Q}} = \sum_{i=1}^N \mathfrak{R}_{th,i} = \sum_{i=1}^N \frac{\delta_i}{S k_i}$$



## PHENOMENES DE TRANSPORT

# TRANSPORT D'ENERGIE

## CONDUCTION

❖ Isolation d 'une habitation

☞  $\delta_{isol} = ?$

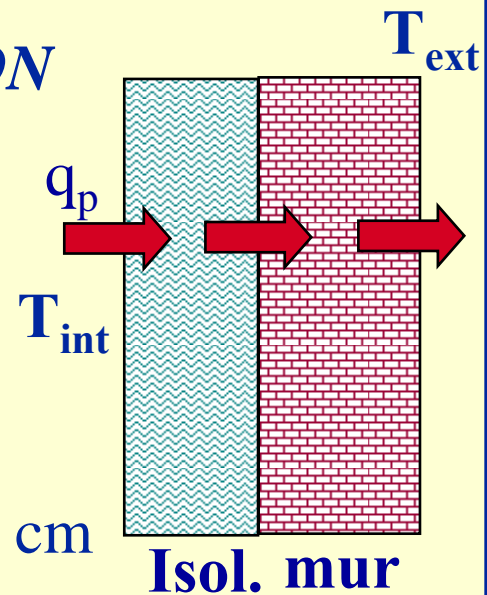
☞ Données

➤  $T_{int} = 20^\circ\text{C}$  et  $T_{ext}=0^\circ\text{C}$

➤  $k_{mur} = 1 \text{ W/m.K}$ ,  $\delta_{mur} = 15 \text{ cm}$

➤  $k_{isol} = 0,05 \text{ W/m.K}$

➤  $q_p \leq 30 \text{ W/m}^2$



$$S \cdot \mathfrak{R}_{th,tot} = \frac{\delta_{isol}}{k_{isol}} + \frac{\delta_{mur}}{k_{mur}} = \frac{T_{int} - T_{ext}}{q_p}$$

$$\delta_{isol} = k_{isol} \left( \frac{T_{int} - T_{ext}}{q_p} - \frac{\delta_{mur}}{k_{mur}} \right)$$

$$\delta_{isol} = 0,05 \left( \frac{20 - 0}{27} - \frac{0,15}{1} \right) \approx 0,03m$$

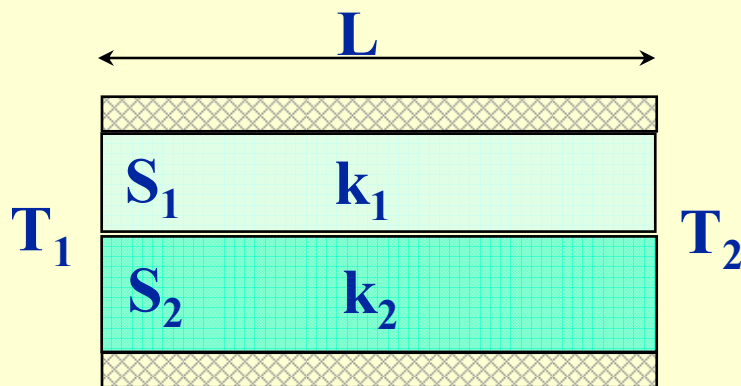


# PHENOMENES DE TRANSPORT

## TRANSPORT D'ENERGIE

### *CONDUCTION*

- ❖ Mur plan composite
- ☞ Résistances en parallèle



**isolation**

$$\mathfrak{R}_{th,1} = \frac{L}{k_1 S_1}$$

$\dot{Q}$  →  $T_1$  ——————  $\bigcup$  ——————  $T_2$

$$\mathfrak{R}_{th,2} = \frac{L}{k_2 S_2}$$

- ☞ Formulation générale

$$\frac{\dot{Q}}{T_1 - T_2} = \frac{1}{\mathfrak{R}_{th,tot}} = \sum_{i=1}^N \frac{1}{\mathfrak{R}_{th,i}}$$

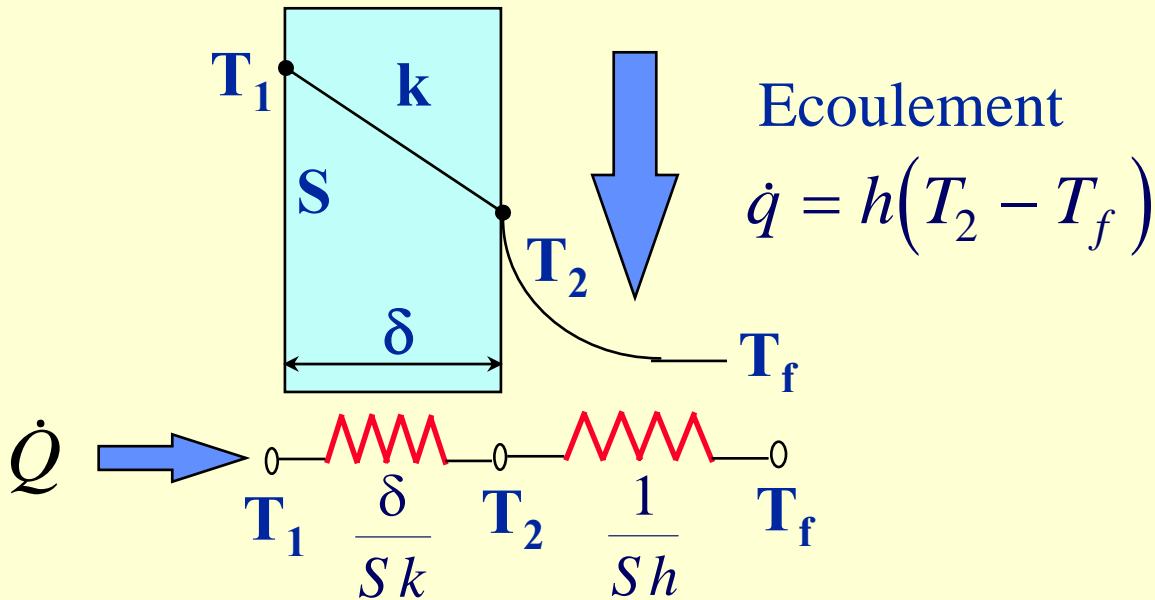


# PHENOMENES DE TRANSPORT

## TRANSPORT D'ENERGIE

### CONDUCTION

- ❖ Mur plan & Convection



☞ Bilan    
$$\dot{Q} = \frac{T_1 - T_2}{\delta / S k} = \frac{T_2 - T_f}{1 / S h}$$

- ◆ Résistance globale entre  $T_1$  et  $T_f$

$$\mathfrak{R}_{th,tot} = \mathfrak{R}_{th}^{cd} + \mathfrak{R}_{th}^{cv}$$

- ◆ Coefficient d'échange global

$$\frac{1}{h_{tot}} = S \mathfrak{R}_{th,tot} = \frac{\delta}{k} + \frac{1}{h}$$



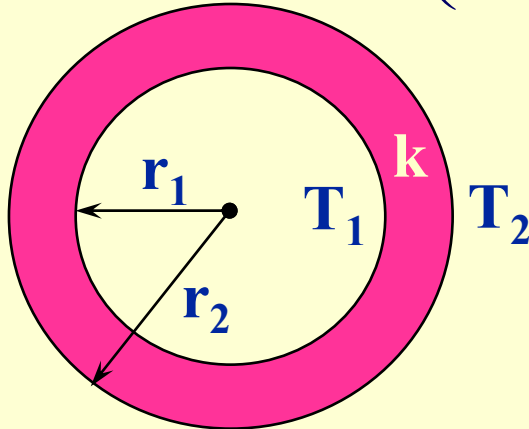
## PHENOMENES DE TRANSPORT

# TRANSPORT D'ENERGIE

## CONDUCTION

- ❖ Cylindre tubulaire

$$\frac{1}{r} \frac{d}{dr} \left( r \frac{dT}{dr} \right) = 0 \quad \Rightarrow \quad 2\pi r \left( -k \frac{dT}{dr} \right) = C^{te}$$



$$\dot{Q} = 2\pi r L q_r \rightarrow \frac{T_1 - T_2}{\ln(r_2 / r_1)} \frac{k}{2\pi L}$$

- ◆ Profil de température

$$T(r) = T_1 + \frac{T_1 - T_2}{\ln(r_1) - \ln(r_2)} \ln\left(\frac{r}{r_1}\right)$$

- ◆ Densité de flux de chaleur

$$q_r = -k \frac{dT}{dr} = -\frac{k}{r} \cdot \frac{T_1 - T_2}{\ln(r_1) - \ln(r_2)}$$



## PHENOMENES DE TRANSPORT

# TRANSPORT D'ENERGIE

## CONDUCTION

### ❖ Tube de Chaudière

☞  $q_{ext}$  pour ébullition ?

☞ Données

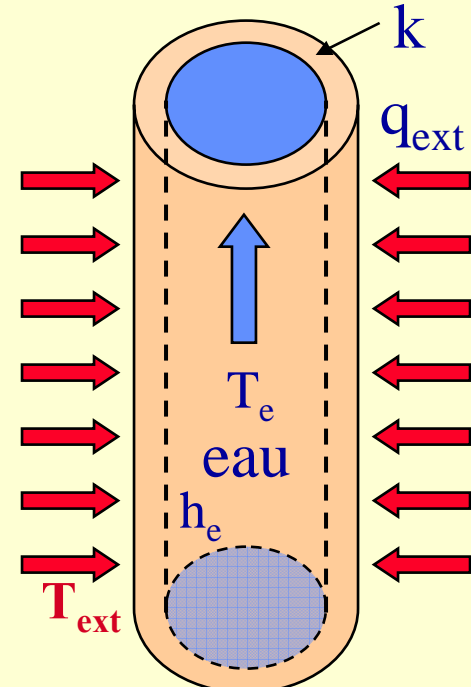
➤  $R_i = 10 \text{ cm}$

➤  $e = 5 \text{ mm}$

➤  $k = 10 \text{ W/m.K}$

➤  $h_e \rightarrow \infty$

➤  $T_e = 100^\circ\text{C}$  et  $T_{ext} = 200^\circ\text{C}$



$$q_{ext} = \frac{k \cdot (T_{ext} - T_e)}{R_{ext} \ln\left(\frac{R_{ext}}{R_i}\right)} = \frac{10 \cdot (200 - 100)}{0.015 \ln\left(\frac{0.015}{0.010}\right)}$$

$$q_{ext} = 164,4 \text{ kW/m}^2$$



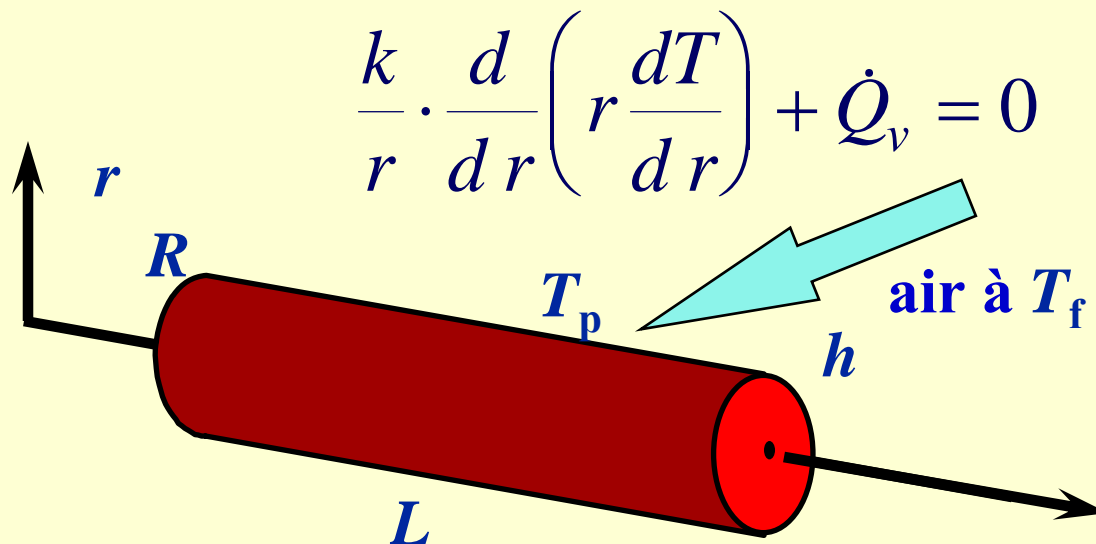
## PHENOMENES DE TRANSPORT

# TRANSPORT D'ENERGIE

## CONDUCTION VIVE

Cylindre avec Source de Chaleur (1)

❖ Equation Thermique



❖ Solution Générale

$$T(r) = -\frac{\dot{Q}_v}{4k} r^2 + C_1 \ln(r) + C_2$$

❖ Conditions aux limites

◆  $r = 0$  Température finie

◆  $r = R$   $q = -k dT/dr = h(T_p - T_f)$



## PHENOMENES DE TRANSPORT

# TRANSPORT D'ENERGIE

## *CONDUCTION VIVE*

Cylindre avec Source de Chaleur (2)

### ❖ Profil de Température

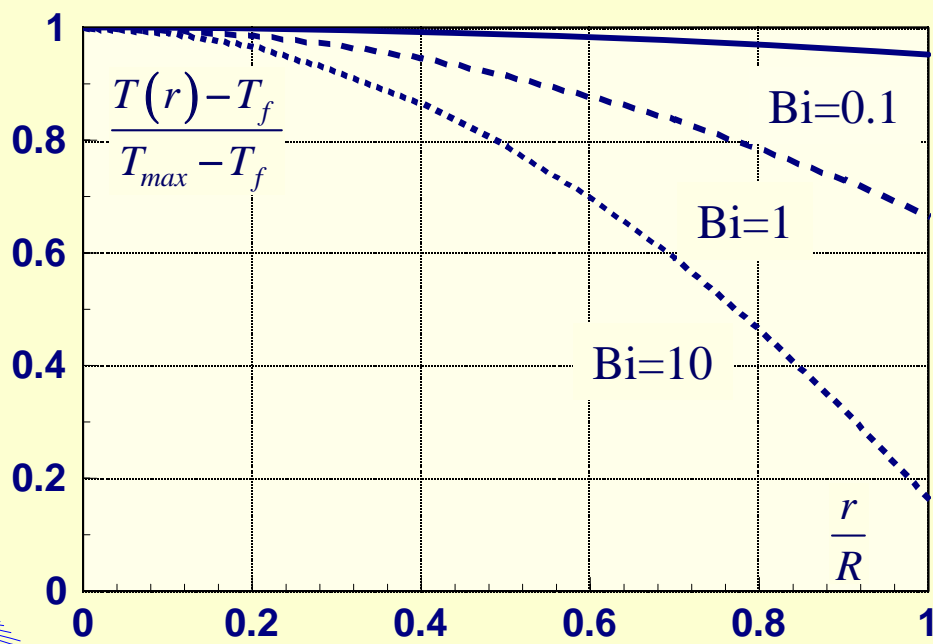
$$T(r) = T_f + \frac{R\dot{Q}_v}{2h} + \frac{R^2\dot{Q}_v}{4k} \left[ 1 - \left( \frac{r}{R} \right)^2 \right]$$

### ❖ Maximum de Température

$$\frac{T_{max} - T_f}{T_p - T_f} = \left[ 1 + \frac{Bi}{2} \right]$$

### ❖ Nombre de Biot

$$Bi = \frac{hR}{k}$$



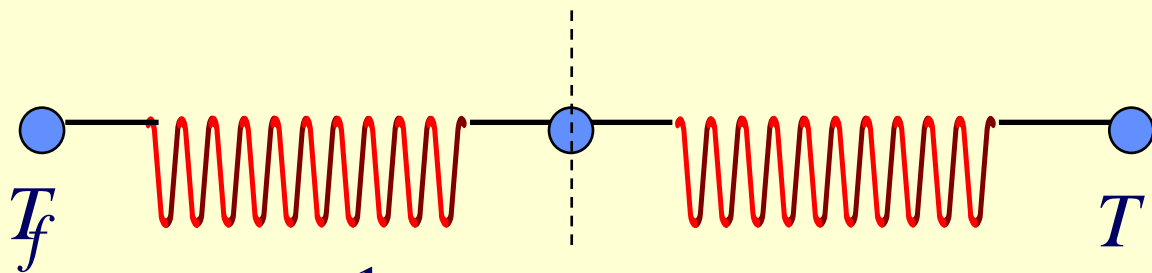
PHENOMENES DE TRANSPORT  
TRANSPORT D'ENERGIE  
*CONDUCTION VIVE*

NOMBRE DE BIOT

❖ Définition

$$Bi = \frac{h\delta}{k} = \left( \frac{\delta}{k} \right) \cdot \frac{1}{\left( \frac{1}{h} \right)}$$

❖ Signification Physique



$$Bi = \frac{R_{cond}}{R_{conv}}$$



## PHENOMENES DE TRANSPORT

# TRANSPORT D'ENERGIE

## *CONDUCTION VIVE*

Cylindre avec Source de Chaleur (3)

Analogie

Écoulement de Poiseuille

$$\frac{\text{Coef}}{r} \cdot \frac{d}{dr} \left( r \frac{d\text{Variable}}{dr} \right) + \text{Source} = 0$$

$$\text{Flux} = -\text{Coef} \frac{d\text{Variable}}{dr}$$

Grandeur	Ecoulement	Conduction
Coefficient	$\mu$	$k$
Variable	$u(r)$	$T(r)$
Aux limites	$u(R)=0$	$T(R)-T_p=0$
Flux	$\tau_{rz}(r)$	$q_r(r)$
Source	$\Delta P_o./ \Delta L$	$Q_v$



## TRANSPORT D'ENERGIE

### ***CONDUCTION MORTE F(t)***

#### ❖ Phénomènes Naturels

$$T(x_i, t)$$

Etat Initial  $\Rightarrow$  Etat Final ?

#### ❖ Problèmes

##### ◆ Apériodiques - Transitoires

➤ Démarrage, Arrêt de machines

➤ Mise en contact de surfaces

##### ◆ Cycliques

➤ Variations diurnes, Ensoleillement

➤ Bâtiments, Régénérateurs , Stockage ...

➤ Fatigue des moteurs à piston

➤ Systèmes d'asservissement



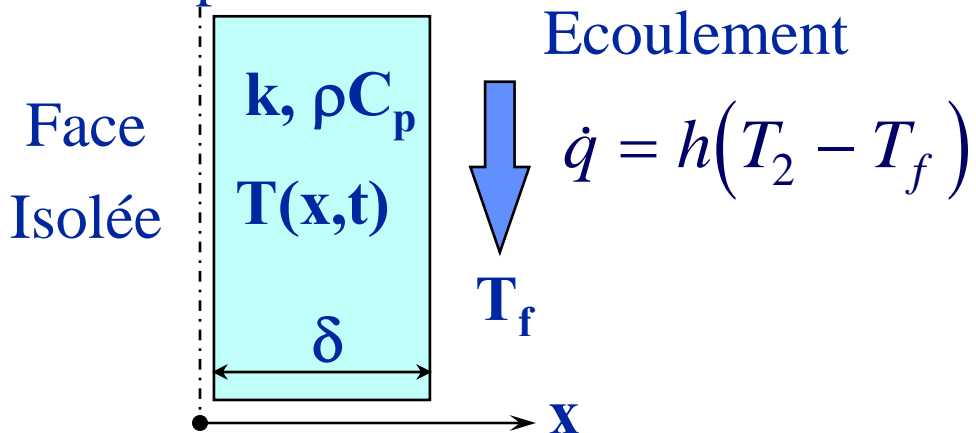
## PHENOMENES DE TRANSPORT

# TRANSPORT D'ENERGIE

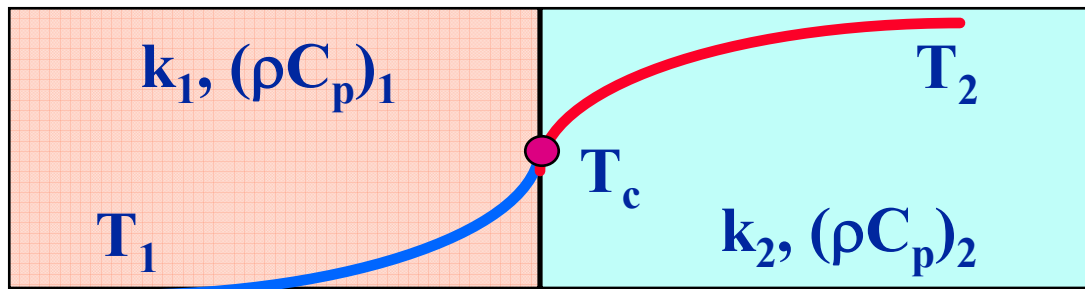
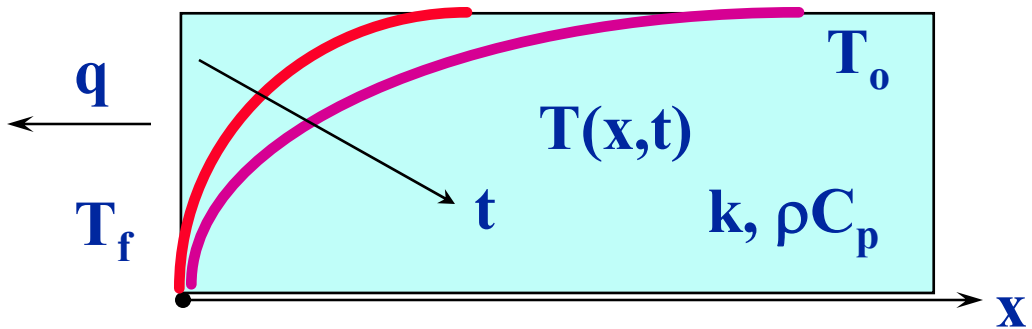
## *CONDUCTION MORTE F(t)*

### ❖ Problèmes génériques

#### ◆ Mur plan



#### ◆ Massif semi infini



## TRANSPORT D'ENERGIE

### *CONDUCTION MORTE* $F(t)$

#### ❖ Equation de la chaleur

$$\rho C \frac{\partial T}{\partial t} = \nabla \cdot [k \nabla T] + \dot{Q}_v$$

- ◆ **k      Conductivité                          [W/m.K]**
- ◆ **ρ      Masse volumique    [kg/m<sup>3</sup>]**
- ◆ **C      Chaleur Spécifique    [J/kg.K]**
- ◆ **Q<sub>v</sub>      Source ou puits                          [W/m<sup>3</sup>]**

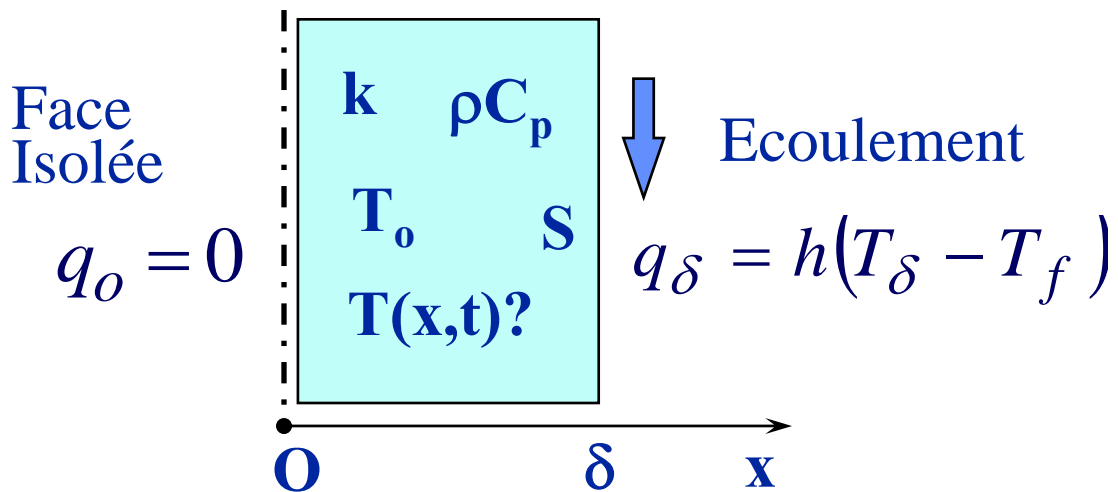


## PHENOMENES DE TRANSPORT

# TRANSPORT D'ENERGIE

## *CONDUCTION MORTE F(t)*

- ❖ Mur plan; propriétés constantes (1)



- ☞ Equation thermocinétique

$$\frac{1}{\alpha} \cdot \frac{\partial T}{\partial t} = \frac{\partial^2 T}{\partial x^2}$$

- ☞ Conditions d'univalence

- ♦ A  $t = 0$        $T = T_o \quad \forall x$

- ♦ En  $x = 0$        $\frac{dT}{dx} = 0 \quad \forall t > 0$

- ♦ En  $x = \delta$        $-k \frac{dT}{dx} = h(T - T_f)$



## PHENOMENES DE TRANSPORT

# TRANSPORT D'ENERGIE

## CONDUCTION MORTE $F(t)$

### ❖ Mur plan; propriétés constantes (2)

#### ◆ Equation normée

$$\frac{\partial \Theta}{\partial Fo} = \frac{\partial^2 \Theta}{\partial X^2}$$

#### ☞ Variables adimensionnelles

Nombre de Fourier       $Fo = \frac{\alpha}{\delta^2} t = \frac{t_{physique}}{t_{diffusion}}$

$$X = \frac{x}{\delta} \quad \text{et} \quad \Theta = \frac{T - T_f}{T_o - T_f}$$

#### ☞ Conditions d'univalence

♦ A     $Fo = 0 \quad \Theta = 1 \quad \forall X$

♦ En     $X = 0 \quad \frac{d\Theta}{dX} = 0 \quad \forall Fo > 0$

♦ En     $X = 1 \quad \frac{d\Theta}{dX} = -Bi \cdot \Theta$

$$Bi = \frac{h\delta}{k}$$



## PHENOMENES DE TRANSPORT

# TRANSPORT D'ENERGIE

## *CONDUCTION MORTE F(t)*

### ❖ Mur plan; propriétés constantes (3)

- ◆ Séparation des variables

$$\Theta(Fo, X) = \Phi(Fo) \cdot \Psi(X)$$

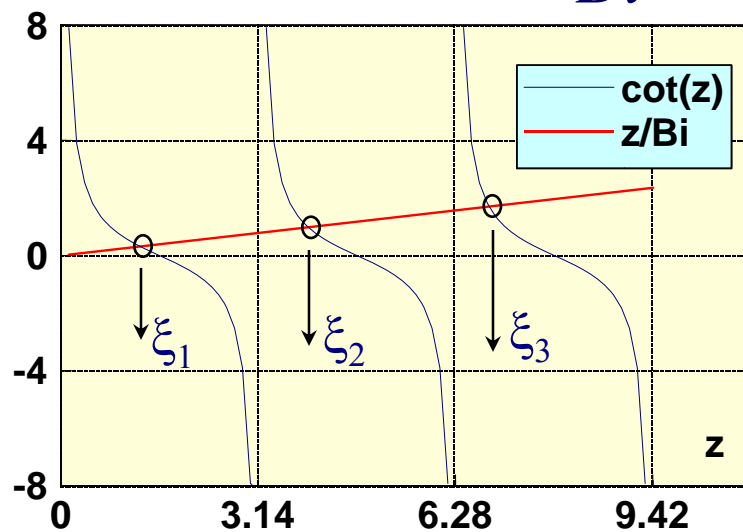
- ◆ Equation aux valeurs propres

$$\frac{1}{\Phi} \frac{d\Phi}{dFo} = \frac{1}{\Psi} \cdot \frac{d^2\Psi}{dX^2} = -\xi^2$$

- ◆ Solution

$$\Theta(Fo, X) = \sum_{n=1}^{\infty} C_n \cos(\xi_n X) e^{-\xi_n^2 Fo}$$

- ☞ Equation caractéristique  $\frac{\xi_n}{Bi} = \cot(\xi_n)$



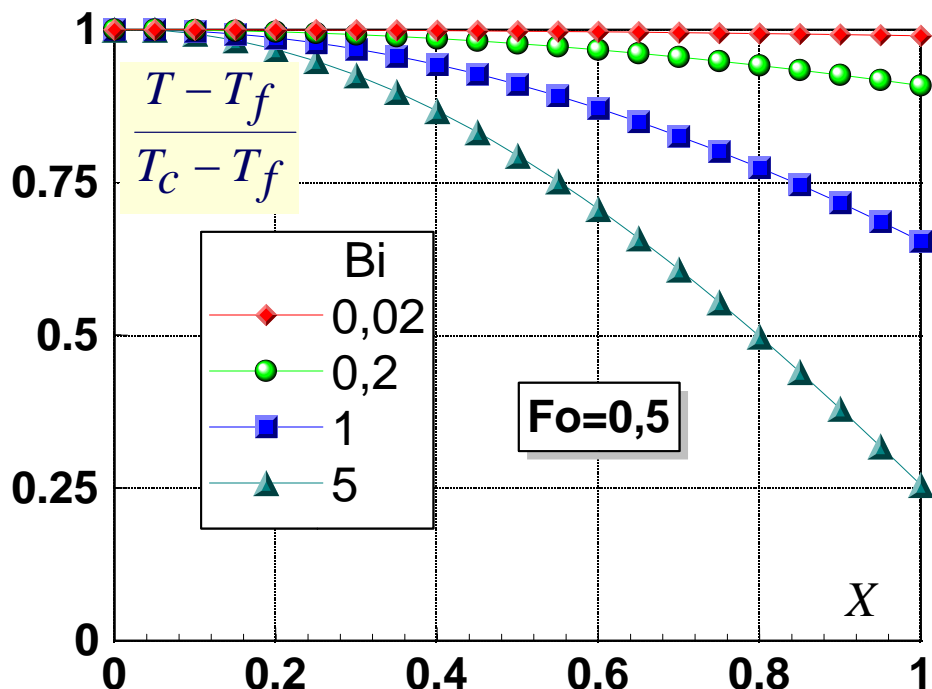
## PHENOMENES DE TRANSPORT

# TRANSPORT D'ENERGIE

## *CONDUCTION MORTE $F(t)$*

### ❖ Mur plan; propriétés constantes (4)

#### ◆ Profil de température



#### ◆ Critère de Biot

☞  $Bi \leq 0,1 \rightarrow T(t) \text{ de bloc}$

☞  $Bi > 0,1 \Rightarrow T(t,x)$

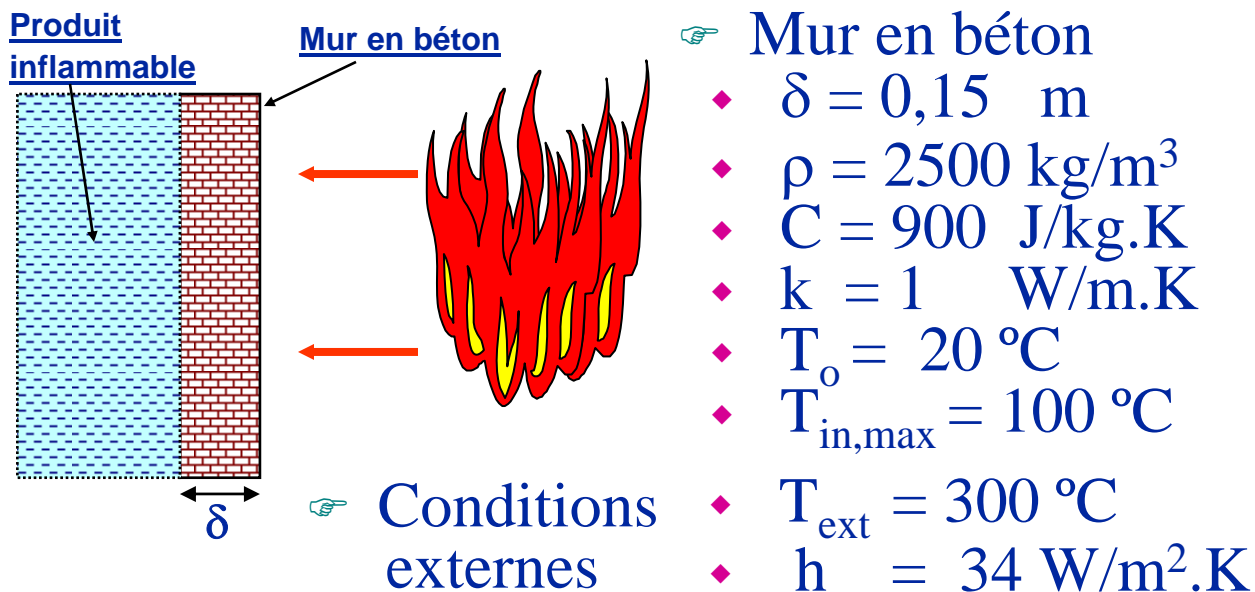


## PHENOMENES DE TRANSPORT

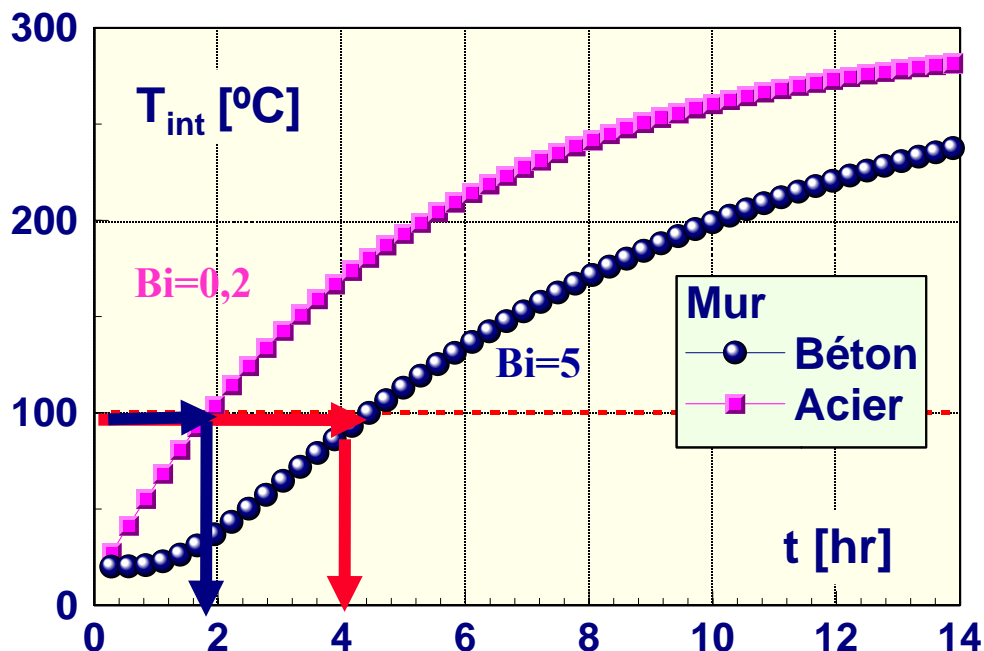
# TRANSPORT D'ENERGIE

## CONDUCTION MORTE $F(t)$

### ❖ Application: Mur de Protection Incendie



### ❖ Temps pour atteindre $T$ critique?

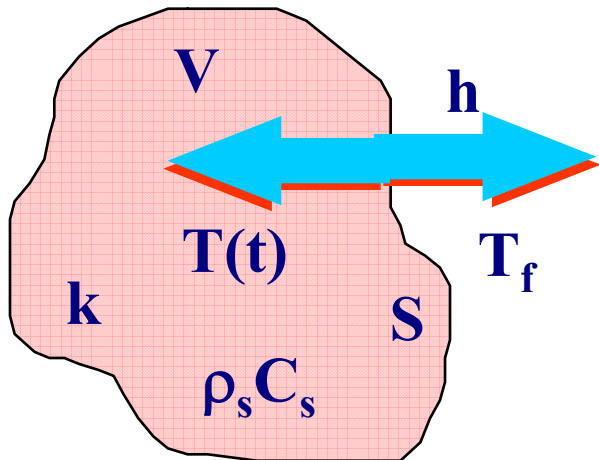


## PHENOMENES DE TRANSPORT

# TRANSPORT D'ENERGIE

## CONDUCTION MORTE $F(t)$

### ❖ Comportement en bloc



$$Bi = \frac{h \cdot (V / S)}{k} \leq 0,1$$

### ◆ Variation d'énergie interne

$$\rho_s C_s V \frac{dT}{dt} = -hS(T - T_f)$$

### ◆ Solution du transitoire

$$\Theta = \frac{T - T_f}{T_o - T_f} = e^{-\frac{hS}{\rho_s C_s V} t}$$

$\frac{1}{\tau}$



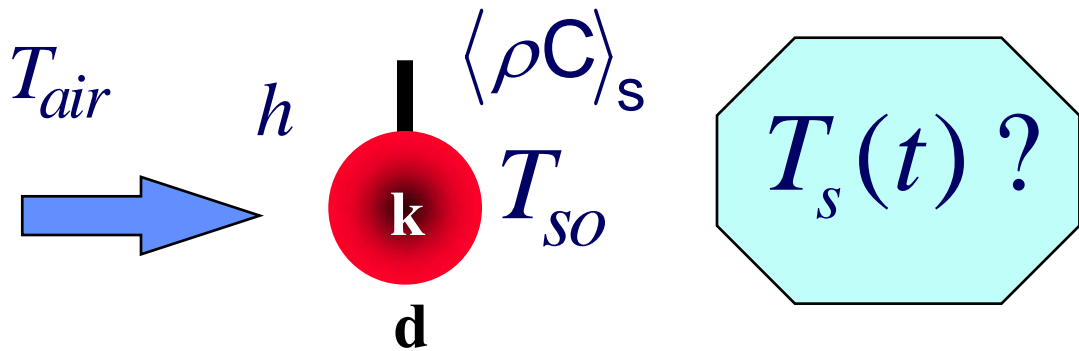
## PHENOMENES DE TRANSPORT

# TRANSPORT D'ENERGIE

## *CONDUCTION MORTE F(t)*

### Réponse d'une Sonde Thermique

#### ❖ Position du Problème



#### ❖ $Bi \leq 0,1$

#### ◆ Temps caractéristique

$$\tau = \frac{\langle \rho C \rangle_s \text{ Vol}}{hS} = \frac{\langle \rho C \rangle_s d}{6h}$$

$$\tau = \frac{10^7 \times 0,0005}{6 \times 550} = 1,5 \text{ sec}$$

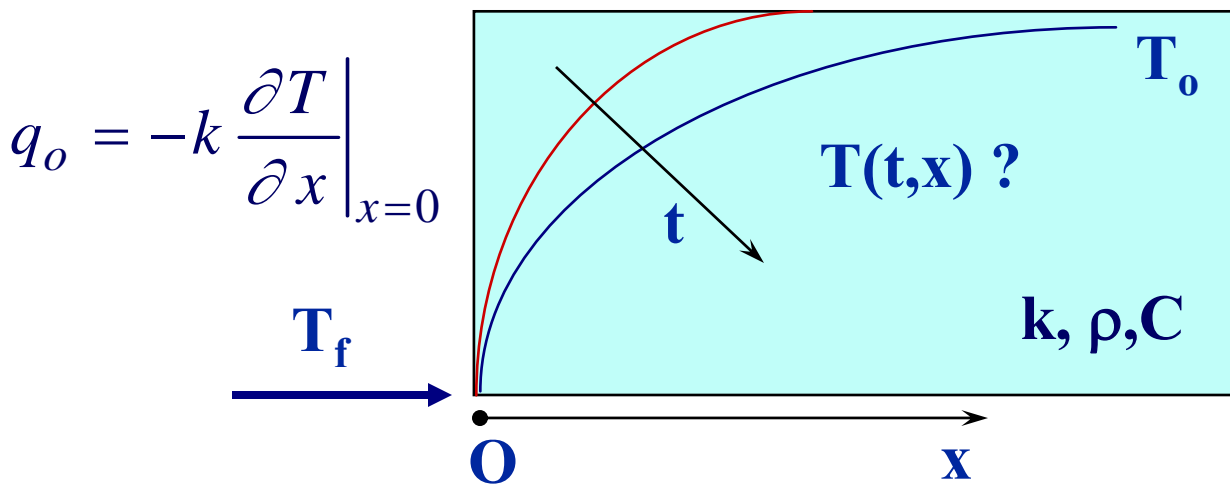


## PHENOMENES DE TRANSPORT

# TRANSPORT D'ENERGIE

## *CONDUCTION MORTE F(t)*

- ❖ Massif semi infini (1)



- ☞ Equation thermocinétique

$$\frac{1}{\alpha} \cdot \frac{\partial T}{\partial t} = \frac{\partial^2 T}{\partial x^2}$$

- ☞ Conditions d'univalence

- ♦ A  $t = 0$   $T = T_o \quad \forall x > 0$
- ♦ En  $x=0$   $T = T_f \quad \forall t > 0$



## PHENOMENES DE TRANSPORT

# TRANSPORT D'ENERGIE

## *CONDUCTION MORTE F(t)*

### ❖ Massif semi infini (2)

☞ Variables réduites

$$Z = \frac{x}{2\sqrt{\alpha t}} \quad \text{et} \quad \Theta = \frac{T - T_f}{T_o - T_f}$$

☞ Conditions d'univalence adimensionnelles

•  $Z \rightarrow \infty$  alors  $\Theta = 1$

•  $Z \rightarrow 0$  alors  $\Theta = 0$

☞ Solution: Profil de température

$$\Theta = \frac{2}{\sqrt{\pi}} \operatorname{erf}(Z)$$

Intégrale de Gauss  $\operatorname{erf}(Z) = \int_0^Z e^{-z^2} dz$



## PHENOMENES DE TRANSPORT

# TRANSPORT D'ENERGIE

## *CONDUCTION MORTE F(t)*

### ❖ Massif semi infini (3)

☞ Densité de flux de chaleur

$$q(x,t) = -k \frac{dT}{dx} = k \frac{T_f - T_o}{\sqrt{\pi \alpha t}} e^{-\frac{x^2}{4\alpha t}}$$

☞ Densité de Flux en x = 0 et t > 0

$$q_o = q(0,t) = \frac{\sqrt{\rho C k} (T_f - T_o)}{\sqrt{\pi t}}$$

Effusivité  $b = \sqrt{\rho C k} \equiv \left[ \frac{J}{m^2 K \sqrt{s}} \right]$

☞ Chaleur accumulée ou perdue

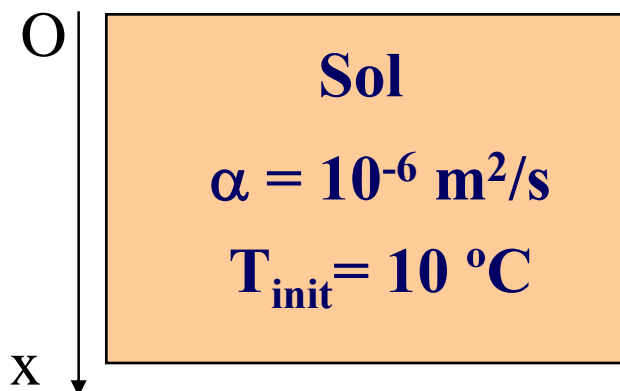
$$Q = \frac{2bS}{\sqrt{\pi}} (T_f - T_o) \sqrt{t}$$



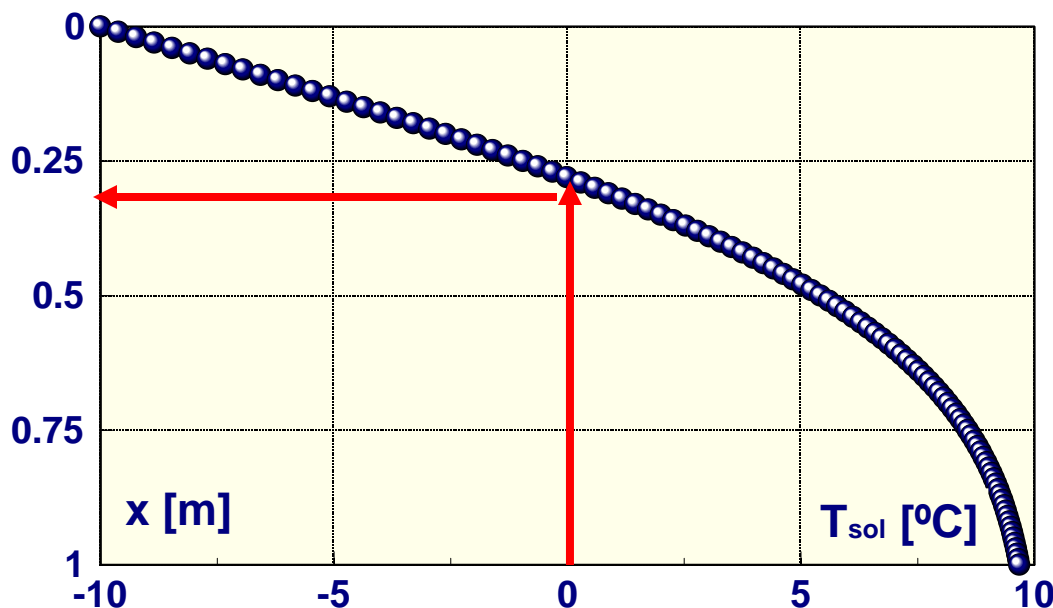
**TRANSPORT D'ENERGIE*****CONDUCTION MORTE F(t)***❖ **Application: Gel du sol**

☞ Brusque chute de température

$T_{\text{ext}} = -10 \text{ }^{\circ}\text{C}$  pendant 12 heures



☞ Profondeur de gel ?

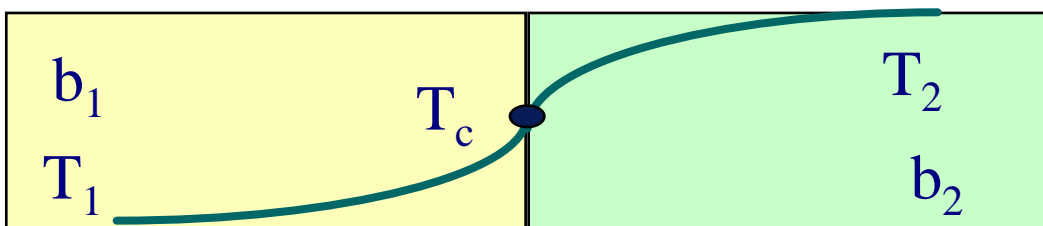


## PHENOMENES DE TRANSPORT

# TRANSPORT D'ENERGIE

## CONDUCTION MORTE $F(t)$

### ❖ Massifs en contact (1)



☞ Densité de flux au contact

$$q_c = -b_1 \frac{T_1 - T_c}{\sqrt{\pi t}} = -b_2 \frac{T_c - T_2}{\sqrt{\pi t}}$$

☞ Température de contact

$$T_c = \frac{b_1 T_1 + b_2 T_2}{b_1 + b_2} \neq f(t)$$



- ◆ Température de la peau  $T_1 = 37^\circ\text{C}$
- ◆ Effusivité de la peau  $b = 600 \text{ [J/m}^2\text{K}\sqrt{\text{s}}]$
- ◆ Température de la pièce  $T_2 = 20^\circ\text{C}$

Contact	<i>b</i>	<i>Tc</i> [ $^\circ\text{c}$ ]	Sensation
Fonte	14700	20,7	Froide
Marbre	2650	23,3	Normale
Bois	400	30,4	Tiède
Isolant	24	36,4	Chaud

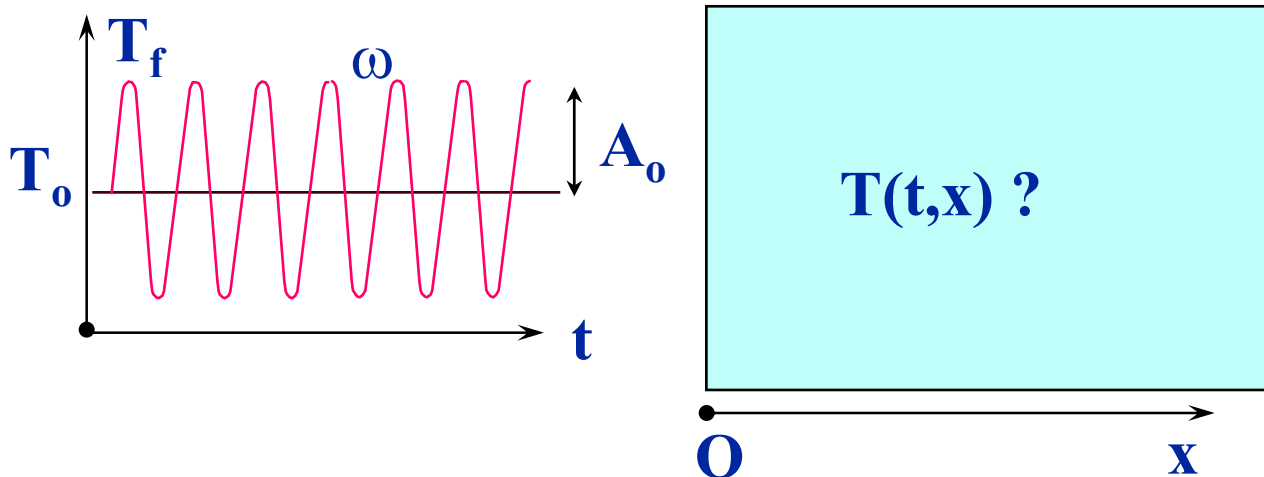


## PHENOMENES DE TRANSPORT

# TRANSPORT D'ENERGIE

## *CONDUCTION MORTE F(t)*

### ❖ Perturbation périodique (1)



☞ Condition aux limites

$$T_f = T_o + A_o \cos(\omega t)$$

☞ Variables réduites

$$\tau = \omega t \qquad X = \frac{x}{\tilde{L}} \qquad \Theta = \frac{T - T_o}{A_o}$$

❖ Longueur caractéristique

$$\tilde{L} = \sqrt{\frac{2\alpha}{\omega}}$$



## PHENOMENES DE TRANSPORT

# TRANSPORT D'ENERGIE

## CONDUCTION MORTE $F(t)$

### ❖ Perturbation périodique (2)

- ☞ Solution (séparation des variables)

$$\Theta = e^{-X} \cos(\tau - X)$$

- ☞ Caractéristique de l'onde thermique

- ◆ Amplitude  $A = A_o e^{-x \sqrt{\frac{\omega}{2\alpha}}}$

- ◆ Déphasage  $\phi = x \sqrt{\frac{\omega}{2\alpha}}$

- ◆ Longueur d'onde  $\lambda = 2\pi \tilde{L} = 2\pi \sqrt{\frac{2\alpha}{\omega}}$

- ◆ Profondeur d'inversion

Déphasage  $\pi$  entre  $T(0)$  et  $T(L_{inv})$

$$L_{inv} = \frac{\lambda}{2}$$

Sol:  $\alpha=10^{-7} \text{ m}^2/\text{s}$ , saison  $\omega=2 \cdot 10^{-7} \text{ rad/s}$

$$L_{inv} = 3,14 \text{ m}$$

Glace en été



## PHENOMENES DE TRANSPORT

### TRANSPORT D'ENERGIE *CONVECTION*

#### ❖ Fluide & Surface Solide

- ☰ Vitesse relative  $U$
- ☰ Différence de température  $T_f - T_p$

#### Coefficient d'échange convectif $h$

#### ❖ Convection Forcée

$U$  impose  $\Delta T$  et donc l'échange thermique

$$h = h(U, \text{propriétés du fluide})$$

#### ❖ Convection Naturelle



$\Delta T \Rightarrow \Delta \rho \Rightarrow U$ : Phénomènes couplés

$$h = h(\Delta T, \text{propriétés du fluide})$$



## PHENOMENES DE TRANSPORT

# TRANSPORT D'ENERGIE

## CONVECTION

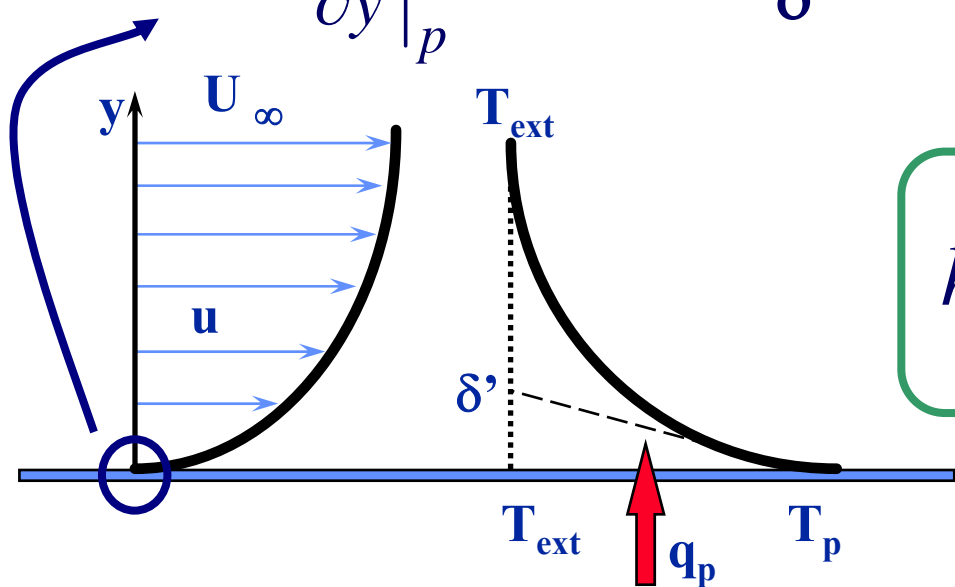
### Coefficient de transfert de chaleur

❖ Définition de Newton

$$q_p = h \cdot (T_p - T_{ext})$$

❖ Interprétation Physique

$$q_p = - k_f \frac{\partial T}{\partial y} \Big|_p = k_f \cdot \frac{(T_p - T_{ext})}{\delta'}$$



$$h = \frac{k_f}{\delta'}$$

❖ CONVECTION

➤ CONDUCTION

$$k_f$$

➤ ADVECTION

$$\delta'(U)$$



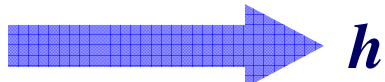
## PHENOMENES DE TRANSPORT

### TRANSPORT D'ENERGIE CONVECTION

#### Distinction entre Nu et Bi

$$Nu = \frac{hL_f}{k_f} = \frac{L_f}{\delta'}$$

Écoulement du Fluide ;  $k_f$



$L_f$

Solide;  $k_s$

$L_s$

$$Bi = \frac{hL_s}{k_s} = \frac{\mathcal{R}_{\text{cond}}}{\mathcal{R}_{\text{conv}}}$$

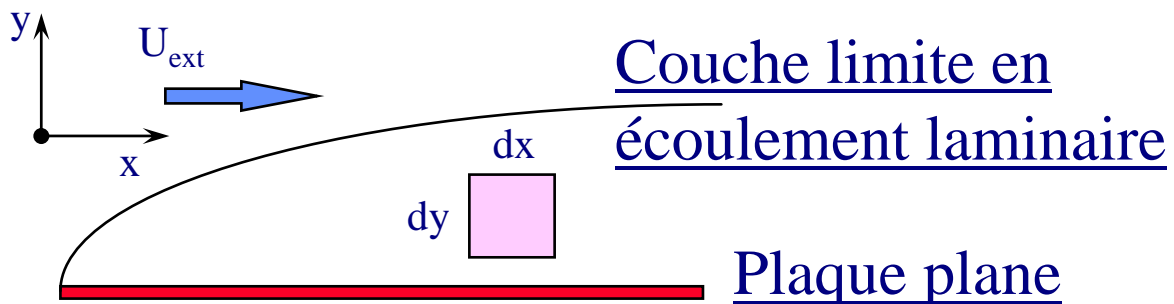


## PHENOMENES DE TRANSPORT

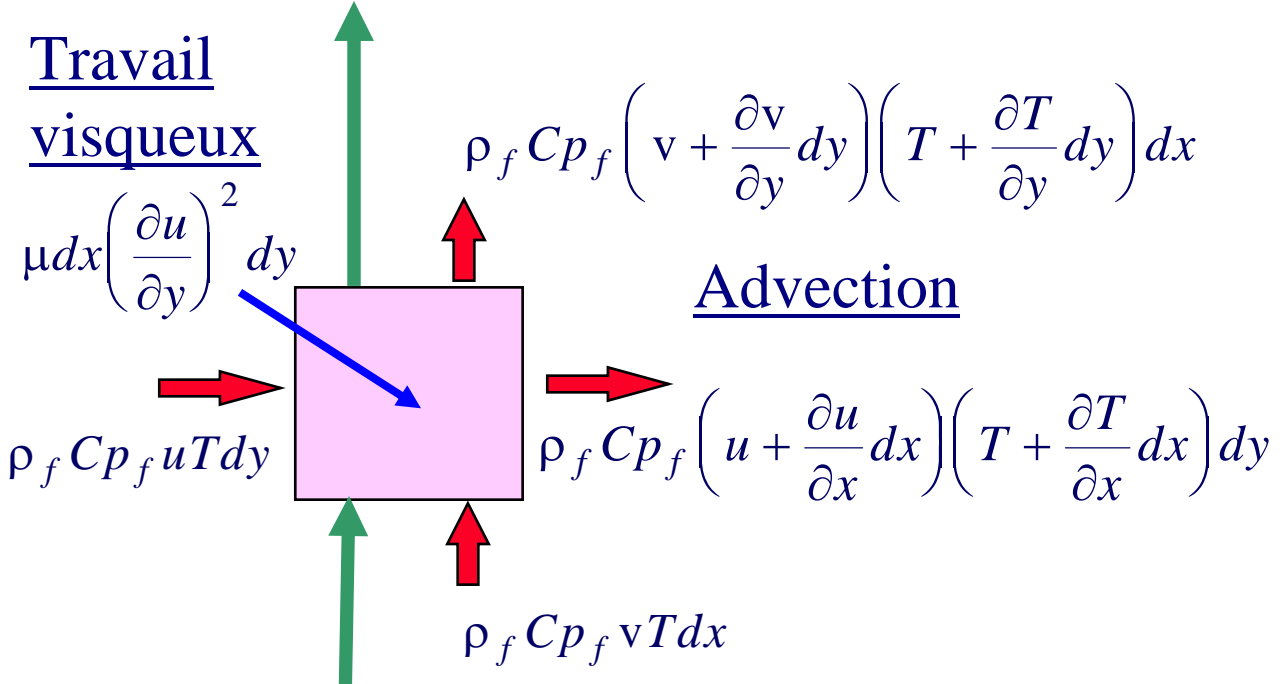
# TRANSPORT D'ENERGIE

## *CONVECTION FORCÉE*

### Equation de l'Énergie (1)



$$- k_f dx \left[ \frac{\partial T}{\partial y} + \frac{\partial}{\partial y} \left( \frac{\partial T}{\partial y} \right) dy \right]$$



## PHENOMENES DE TRANSPORT

### TRANSPORT D'ENERGIE

#### *CONVECTION FORCÉE*

#### Equation de l'Énergie (2)

❖ Régime laminaire

◆ Conduction axiale négligeable

$$u \frac{\partial T}{\partial x} + v \frac{\partial T}{\partial y} = \alpha \frac{\partial^2 T}{\partial y^2} + \frac{\mu}{\rho_f C_{pf}} \left( \frac{\partial u}{\partial y} \right)^2$$

◆ Forme normée:  $\delta \approx \delta_{th}$

$$\Theta = \frac{T - T_p}{T_{ext} - T_p}$$

$$\left[ \tilde{u} \frac{\partial \Theta}{\partial \tilde{x}} + \tilde{v} \frac{\partial \Theta}{\partial \tilde{y}} \right] \left\{ \frac{\delta}{L} \right\}^2 = \frac{1}{Pe} \frac{\partial^2 \Theta}{\partial \tilde{y}^2} + \frac{Br}{Pe} \left( \frac{\partial \tilde{u}}{\partial \tilde{y}} \right)^2$$

☞ Nombre de Peclet

$$Pe = \frac{U_{ext} L}{\alpha} = Re \cdot Pr$$

☞ Nombre de Prandtl

$$Pr = \frac{\mu C_p}{k} = \frac{\nu}{\alpha}$$

☞ Nombre de Brinkman

$$Br = \frac{\mu U_{ext}^2}{k_f |T_{ext} - T_p|}$$



## PHENOMENES DE TRANSPORT

### TRANSPORT D'ENERGIE

#### *CONVECTION FORCÉE*

#### Équation de l'Énergie (3)

❖ Équation de la couche limite laminaire

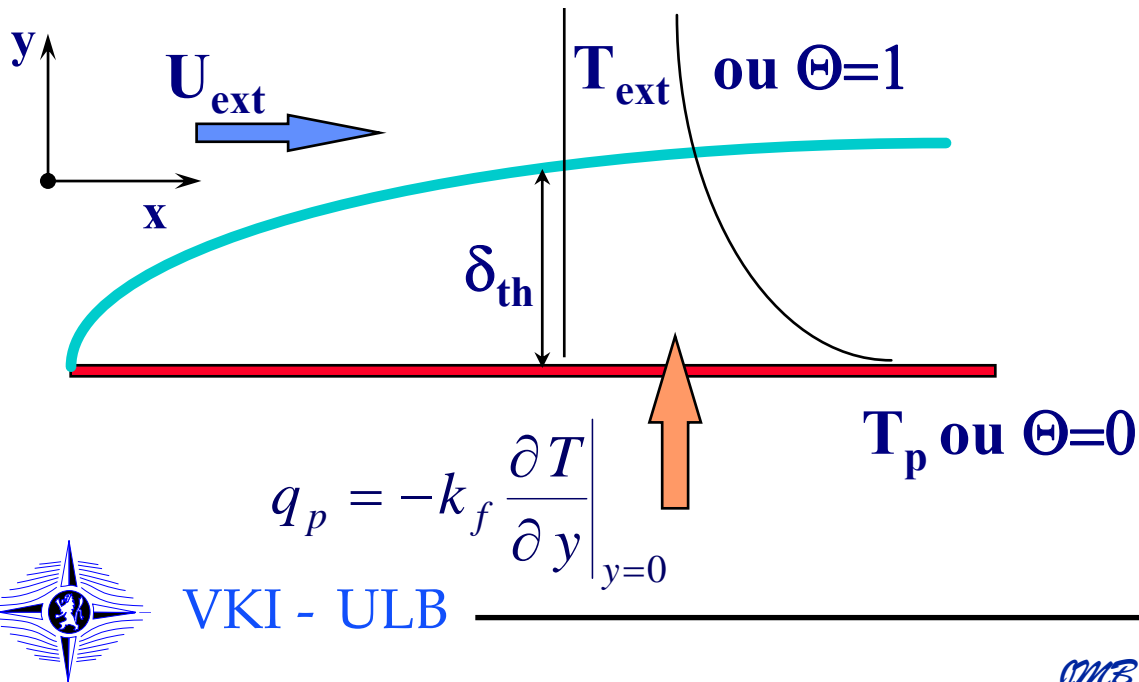
◆ Dissipation visqueuse négligeable

$$u \frac{\partial T}{\partial x} + v \frac{\partial T}{\partial y} = \alpha \frac{\partial^2 T}{\partial y^2}$$

◆ Forme normée

$$\left[ \tilde{u} \frac{\partial \Theta}{\partial \tilde{x}} + \tilde{v} \frac{\partial \Theta}{\partial \tilde{y}} \right] \left\{ \frac{\delta}{L} \right\}^2 = \frac{1}{Pe} \frac{\partial^2 \Theta}{\partial \tilde{y}^2}$$

☞ Conditions aux limites



## PHENOMENES DE TRANSPORT

### TRANSPORT D'ENERGIE

#### *CONVECTION FORCÉE*

#### Corrélation de transfert de chaleur

Gaz et liquides sur plaque plane

- ❖ Forme locale en régime laminaire

$$Nu_x = \frac{h_x x}{k_f} = 0,332 Pr^{1/3} \sqrt{Re_x}$$

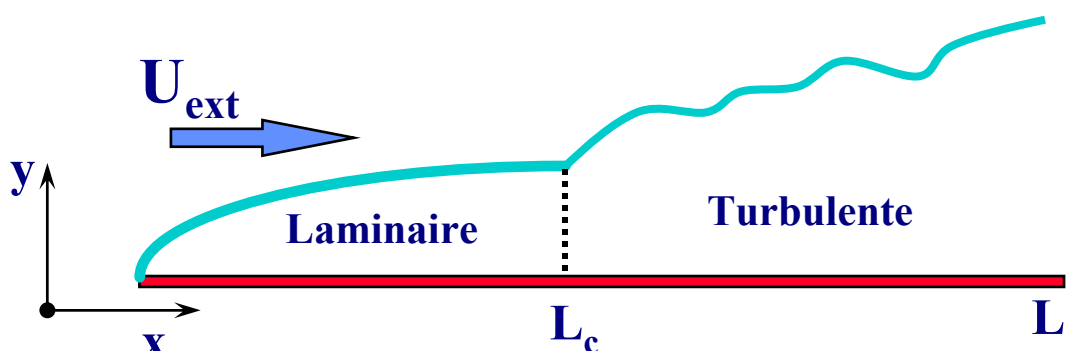
- ❖ Forme locale en régime turbulent:  $Re_c \approx 3.10^5$

$$Nu_x = \frac{h_x x}{k_f} = 0,029 Pr^{0,43} Re_x^{0,8}$$

- ❖ Coefficient moyen

$$\bar{h} = \frac{1}{L} \left( \int_0^{L_c} h_{lam} dx + \int_{L_c}^L h_{tur} dx \right)$$

$$\overline{Nu} = 0,664 Pr^{1/3} Re_c^{0,5} + 0,036 Pr^{0,43} (Re_L^{0,8} - Re_c^{0,8})$$

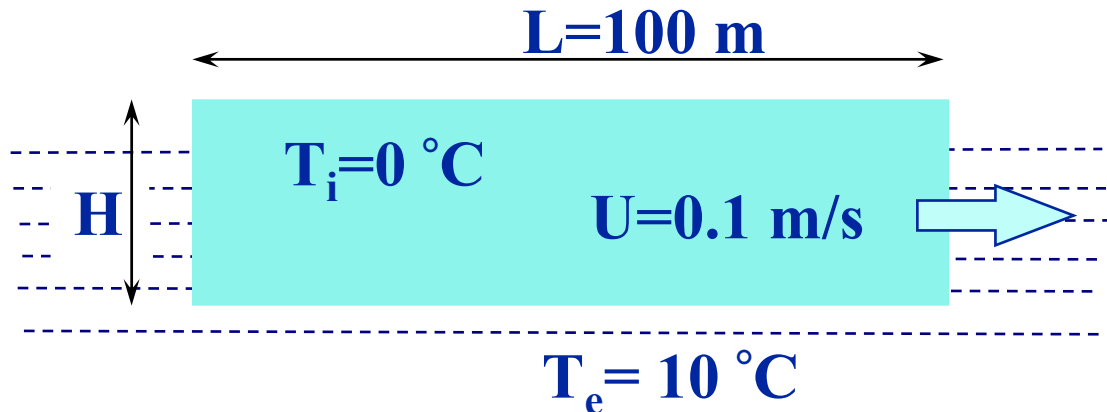


## PHENOMENES DE TRANSPORT

### TRANSPORT D'ENERGIE

#### *CONVECTION FORCÉE*

Fonte des icebergs (1)



❖ Nombre de Reynolds:  $v_e=1,5 \cdot 10^{-6} \text{ m}^2/\text{s}$

$$Re = \frac{UL}{v_e} \approx 6,7 \times 10^6$$

❖ Nombre de Nusselt moyen:  $Re_c=3 \cdot 10^5$ ,  $Pr_e=11$

$$\overline{Nu}_L = 0,036 Pr_e^{0,43} \left( Re^{\frac{4}{5}} - Re_c^{\frac{4}{5}} \right) \approx 26625$$

❖ Densité de flux de chaleur reçue:

$$k_e=0,57 \text{ W/m.K}$$

$$q_s = \frac{\overline{Nu}_L k_e}{L} (T_e - T_i) \approx 1518 \text{ W/m}^2$$



## PHENOMENES DE TRANSPORT

### TRANSPORT D'ENERGIE *CONVECTION FORCÉE*

#### Fonte des icebergs (2)

##### ❖ Taux de Fonte

$$\mathcal{L}_{se} \frac{dm}{dt} = -q_s \cdot L \cdot \ell \Rightarrow \mathcal{L}_{se} \rho_e \frac{dH}{dt} = -q_s$$

◆  $\mathcal{L}_{se} = 333 \text{ kJ/kg}$  et  $\rho_e = 1000 \text{ kg/m}^3$

$$\frac{dH}{dt} = -\frac{q_s}{\mathcal{L}_{se} \rho_e} \approx -4,6 \mu\text{m}$$

##### ❖ Épaisseur perdue sur un jour

$$\Delta H = \left[ \frac{dH}{dt} \right] \Delta t \approx 0,4 \text{ m}$$

##### ❖ Qu'adviendrait-il si

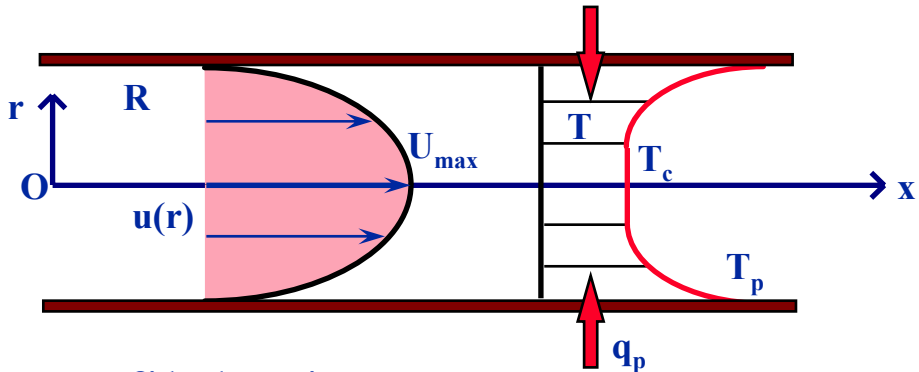
$$U = 10 \text{ m/s} \text{ et } H_o = 15 \text{ m} ?$$



## PHENOMENES DE TRANSPORT

# TRANSPORT D'ENERGIE *CONVECTION FORCÉE* Écoulements Internes

### ❖ Écoulement de Poiseuille (1)



#### ◆ Profil de vitesse

$$\frac{u}{U_{\max}} = 1 - \left( \frac{r}{R} \right)^2$$

#### ◆ Équation de l'énergie

$$u \frac{\partial T}{\partial x} = \frac{\alpha}{r} \frac{\partial}{\partial r} \left( r \frac{\partial T}{\partial r} \right) = u(r) C_o$$

#### ◆ Cas: $q_p = \text{constant}$ et $T$ développé

$$T(r) \Rightarrow \frac{\partial T}{\partial x} = C_o$$

#### ◆ Conditions aux limites

$$\left. \frac{\partial T}{\partial r} \right|_{r=0} = 0 \quad \text{et} \quad \left. \frac{\partial T}{\partial r} \right|_{r=R} = - \frac{q_p}{k_f}$$



## PHENOMENES DE TRANSPORT

# TRANSPORT D'ENERGIE *CONVECTION FORCÉE* Ecoulements Internes

### ❖ Écoulement de Poiseuille (2)

#### ◆ Profil de $T$

$$T - T_c = \frac{T^*}{4} \left[ \left( \frac{r}{R} \right)^2 - \frac{1}{4} \left( \frac{r}{R} \right)^4 \right] \quad T^* = \frac{C_o U_{max} R^2}{\alpha}$$

#### ◆ $T_p$ de paroi et $\langle T \rangle$ moyenne

$$T_p = T_c + \frac{3}{16} T^*$$

$$\langle T \rangle = \frac{1}{\pi R^2 \langle u \rangle} \int_0^R (u T) 2\pi r dr = T_o + \frac{7}{97} T^*$$

#### ◆ Coefficient convectif

$$h = \frac{k_f \frac{\partial T}{\partial r} \Big|_p}{T_p - \langle T \rangle} = \frac{48}{11} \cdot \frac{k_f}{D} \quad \Rightarrow \quad \mathbf{Nu_D} = 4,36$$

#### ◆ Paroi à $T_p = \text{constant}$ $\Rightarrow \mathbf{Nu_D} = 3,66$



## PHENOMENES DE TRANSPORT

### TRANSPORT D'ENERGIE *CONVECTION FORCÉE*

#### ❖ Écoulement de Poiseuille (3)

☞ Nombre de Stanton  $St = \frac{Nu}{Re \cdot Pr} = \frac{C^{te}}{Re \cdot Pr}$

☞ Frottement

$$C_f = \frac{16}{Re}$$

#### ◆ Analogie

$$\frac{St \cdot Pr}{C_f} = C^{te}$$

#### ❖ Écoulement turbulent en conduite: $Re > 2300$

☞ Régime hydrauliquement lisse

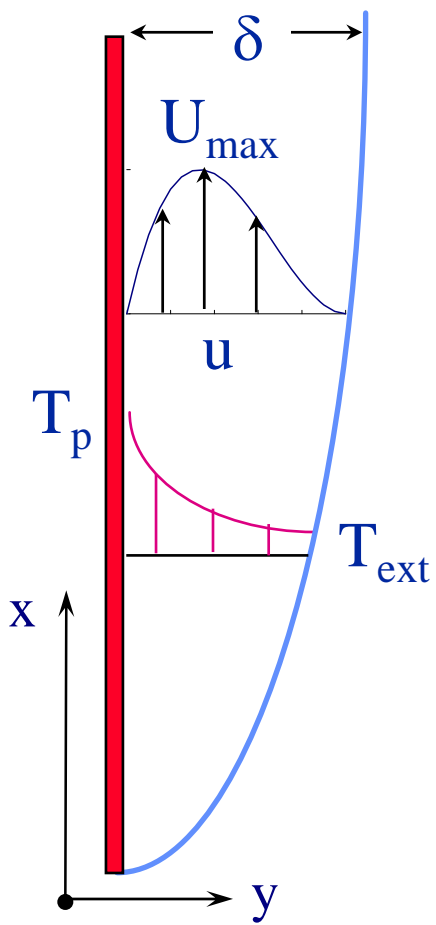
$$Nu = \frac{hD}{k_f} = 0,023 Pr^{0,4} Re^{0,8}$$



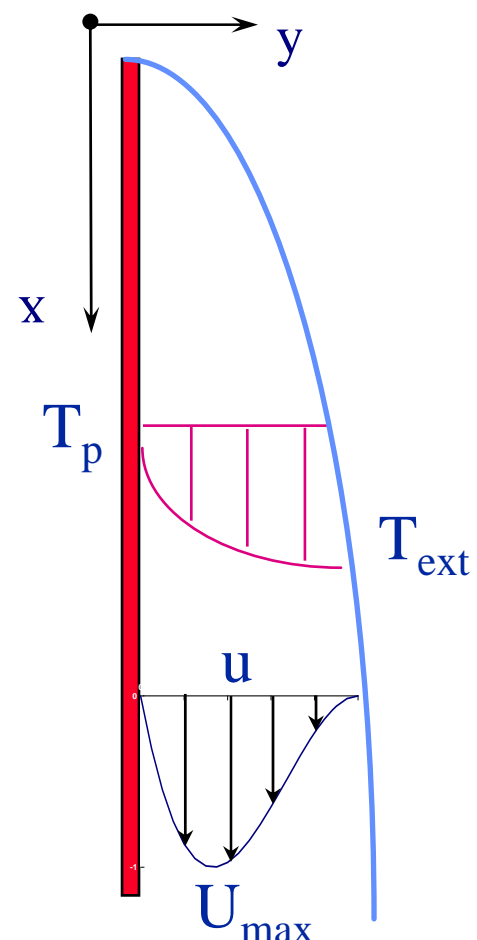
## PHENOMENES DE TRANSPORT

# TRANSPORT D'ENERGIE CONVECTION NATURELLE

### paroi chaude



### paroi froide



### ❖ Dilatabilité du Fluide

$$\frac{\partial \rho_f}{\partial T} = -\beta \rho_f < 0$$

Gas:

$$\rho_f = \frac{P}{\mathcal{R}T} \rightarrow \frac{\partial \rho_f}{\partial T} = -\frac{P}{\mathcal{R}T^2} = -\frac{\rho_f}{T} \rightarrow \beta = \frac{1}{T}$$



## PHENOMENES DE TRANSPORT

# TRANSPORT D'ENERGIE CONVECTION NATURELLE

### ❖ Plaque verticale

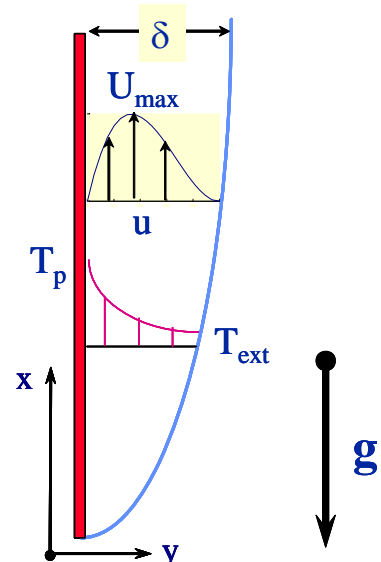
#### ◆ Couche limite laminaire (1)

☞ Équations de base

#### Masse

$$\frac{\partial u}{\partial x} + \frac{\partial v}{\partial y} = 0$$

#### Mouvement - Ox



$$\rho_f \left( u \frac{\partial u}{\partial x} + v \frac{\partial u}{\partial y} \right) = - \frac{\partial P}{\partial x} + \mu \frac{\partial^2 u}{\partial y^2} - \rho_f g$$

#### Énergie

$$\rho_f C_{pf} \left( u \frac{\partial T}{\partial x} + v \frac{\partial T}{\partial y} \right) = k \frac{\partial^2 T}{\partial y^2}$$



## PHENOMENES DE TRANSPORT

# TRANSPORT D'ENERGIE CONVECTION NATURELLE

❖ Plaque verticale

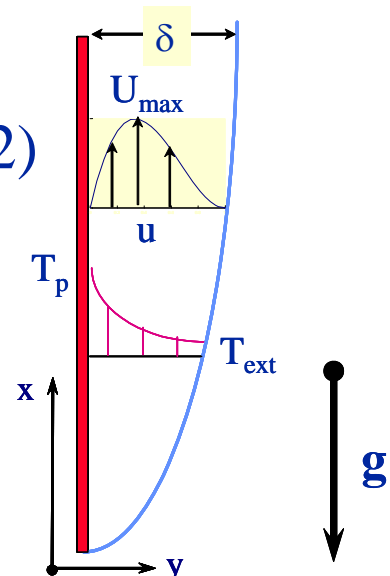
◆ Couche limite laminaire (2)

$$\text{A } y = \delta; \quad u \rightarrow 0 \text{ et } \rho_f \rightarrow \rho_{ext}$$

$$-\frac{\partial P}{\partial x} = -\rho_{ext} g$$

Soit

$$-\frac{\partial P}{\partial x} - \rho_f g = (\rho_{ext} - \rho_f) g$$



☞ Coefficient d'expansion thermique

$$\rho_{ext} - \rho_f = -\beta \rho_f (T_{ext} - T_f)$$

☞ Terme moteur Force d'Archimède

$$-\frac{\partial P}{\partial x} - \rho_f g = -\beta \rho_f g (T_{ext} - T)$$



## PHENOMENES DE TRANSPORT

### TRANSPORT D'ENERGIE

#### *CONVECTION MIXTE*

##### ❖ Plaque verticale

###### ◆ Couche limite laminaire (3)

☞ Équations adimensionnelles

#### Masse

$$\frac{U_o}{L} \left[ \frac{\partial \tilde{u}}{\partial \tilde{x}} \right] + \frac{V_{ref}}{\delta} \left[ \frac{\partial \tilde{v}}{\partial \tilde{y}} \right] = 0$$

#### Mouvement - Ox

$$\left[ \tilde{u} \frac{\partial \tilde{u}}{\partial \tilde{x}} \right] + \left[ \tilde{v} \frac{\partial \tilde{u}}{\partial \tilde{y}} \right] = \frac{(L/\delta)^2}{Re} \left[ \frac{\partial^2 \tilde{u}}{\partial \tilde{y}^2} \right] + \frac{Gr}{Re^2} \Theta$$

#### Énergie

$$\left[ \tilde{u} \frac{\partial \Theta}{\partial \tilde{x}} \right] + \left[ \tilde{v} \frac{\partial \Theta}{\partial \tilde{y}} \right] = \frac{(L/\delta)^2}{Re \cdot Pr} \left[ \frac{\partial^2 \Theta}{\partial \tilde{y}^2} \right]$$

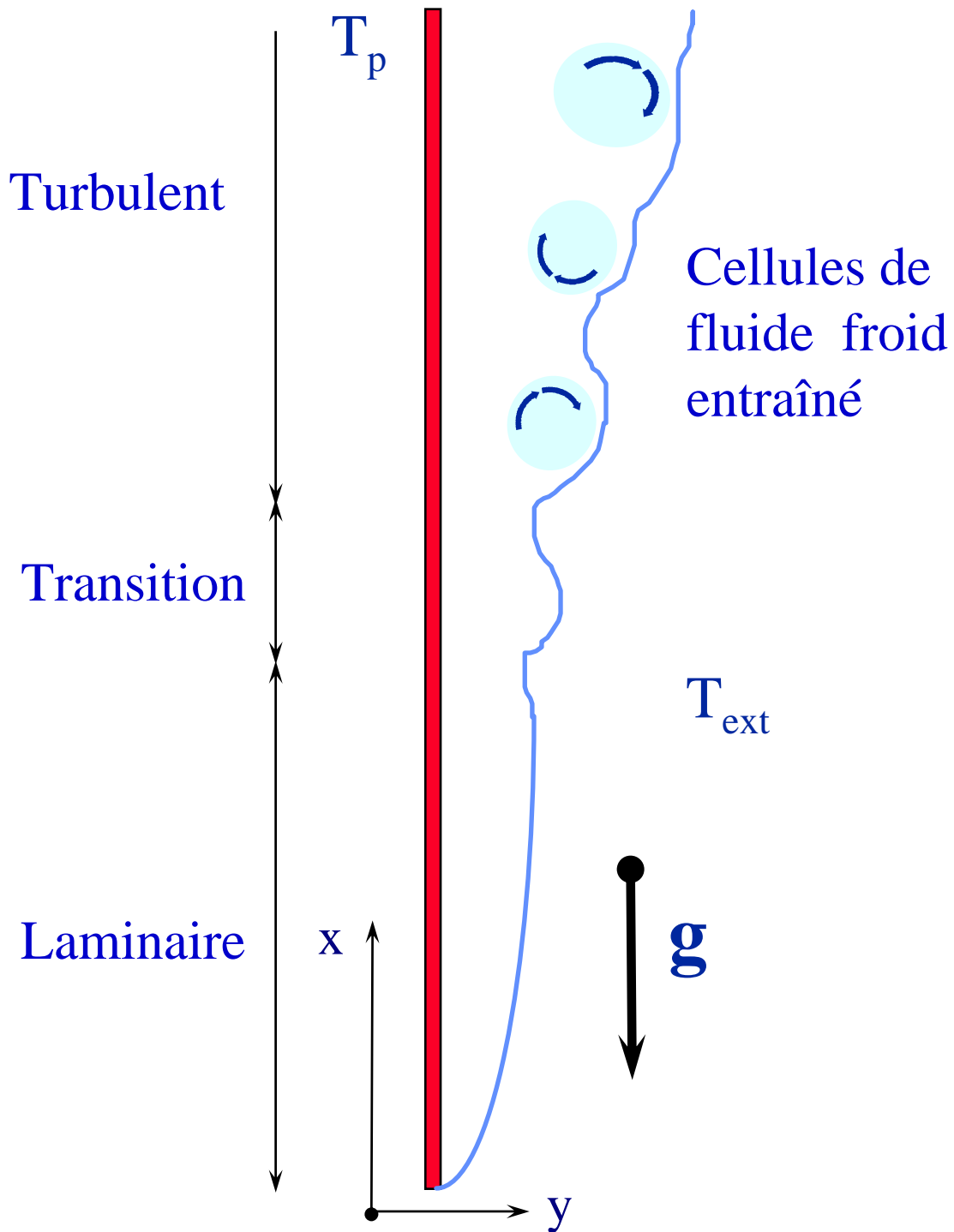
☞ Nombre de Grashof

$$Gr = \frac{g\beta(T_p - T_{ext})L^3}{\nu^2} = \frac{\text{Flottaison}}{\text{Viscosité}}$$



## PHENOMENES DE TRANSPORT

# TRANSPORT D'ENERGIE *CONVECTION NATURELLE*



## PHENOMENES DE TRANSPORT

# TRANSPORT D'ENERGIE CONVECTION NATURELLE

Plaque verticale isotherme (1)

❖ Nombre de Rayleigh

$$\text{Ra}_L = \text{Gr}_L \cdot \text{Pr} = \frac{\beta g (T_p - T_{ext}) L^3}{\nu \alpha}$$

❖ Corrélation Expérimentale

$$\overline{\text{Nu}}_L = C \cdot \text{Ra}_L^n$$

Régime	<b>Ra</b>	<b>C</b>	<b>n</b>
Laminaire	$10^4 - 10^9 \cdot \text{Pr}$	0,59	1/4
Turbulent	$10^9 \cdot \text{Pr} - 10^{13}$	0,10	1/3

Turbulent

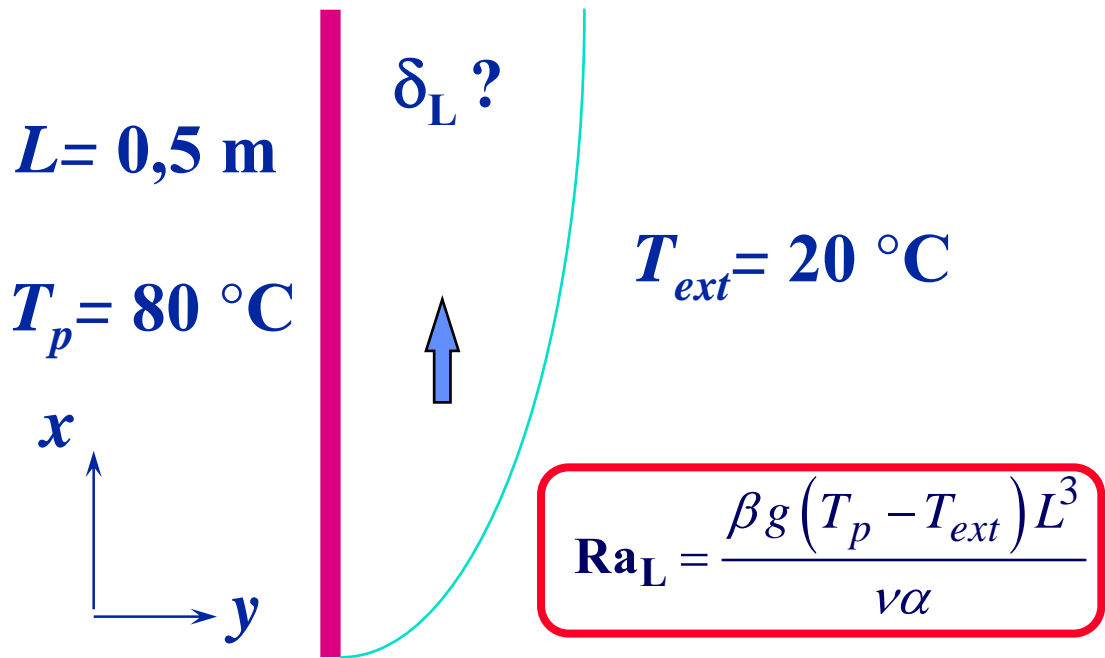
$$h = \frac{\overline{\text{Nu}}_L \cdot k_f}{L} \propto \frac{\text{Ra}_L^{\frac{1}{3}}}{L} \propto (T_p - T_{ext})^{\frac{1}{3}}$$



## PHENOMENES DE TRANSPORT

# TRANSPORT D'ENERGIE CONVECTION NATURELLE

Plaque Plane Verticale Isotherme (2)



- ❖ Température moyenne:  $T_f = 273 + 0,5(T_p + T_{ext})$
- ❖ Propriétés thermophysiques du film

Propriétés	Valeur	Unités
$\beta = 1/T_f$	0,0031	$\text{K}^{-1}$
$\nu_f$	$18,3 \cdot 10^{-6}$	$\text{m}^2/\text{s}$
$k_f$	0,028	$\text{W}/\text{m.K}$
$Pr$	0,7	-



## PHENOMENES DE TRANSPORT

# TRANSPORT D'ENERGIE CONVECTION NATURELLE

### Plaque Plane Verticale Isotherme (3)

#### ❖ Nombre de Rayleigh

$$Ra_L = \frac{g\beta(T_p - T_{ext})L^3}{\nu\alpha} = 4,8 \times 10^8 < 10^9$$

☞ Régime Laminaire

#### ❖ Nombre de Nusselt

$$\overline{Nu_L} = 0,59 * Ra_L^{0,25} \approx 87$$

#### ❖ Coefficient de Transfert de Chaleur

$$h_L = \frac{\overline{Nu_L} \cdot k_f}{L} \approx 4,9 \text{ Wm}^{-2}\text{K}^{-1} = \frac{k_f}{\delta_L / 2}$$

#### ❖ Épaisseur de Couche Limite

$$\delta_L = \frac{2k_f}{h_L} = \frac{2L}{\overline{Nu_L}} \approx 0,012 \text{ m}$$



## PHENOMENES DE TRANSPORT

### TRANSPORT D'ENERGIE *CONVECTION NATURELLE*

Plaque verticale à flux constant (1)

❖ Nombre de Rayleigh

$$Ra_L = \frac{\beta g}{\nu \alpha} \cdot \frac{q_p L^4}{k_f}$$

❖ Corrélation Expérimentale

$$\overline{Nu_L} = C \cdot Ra_L^n$$

Régime	Ra	C	n
Laminaire	$10^5 - 10^{11}$	0,75	0,20
Turbulent	$2 \times 10^{13} - 10^{16}$	0,645	0,22

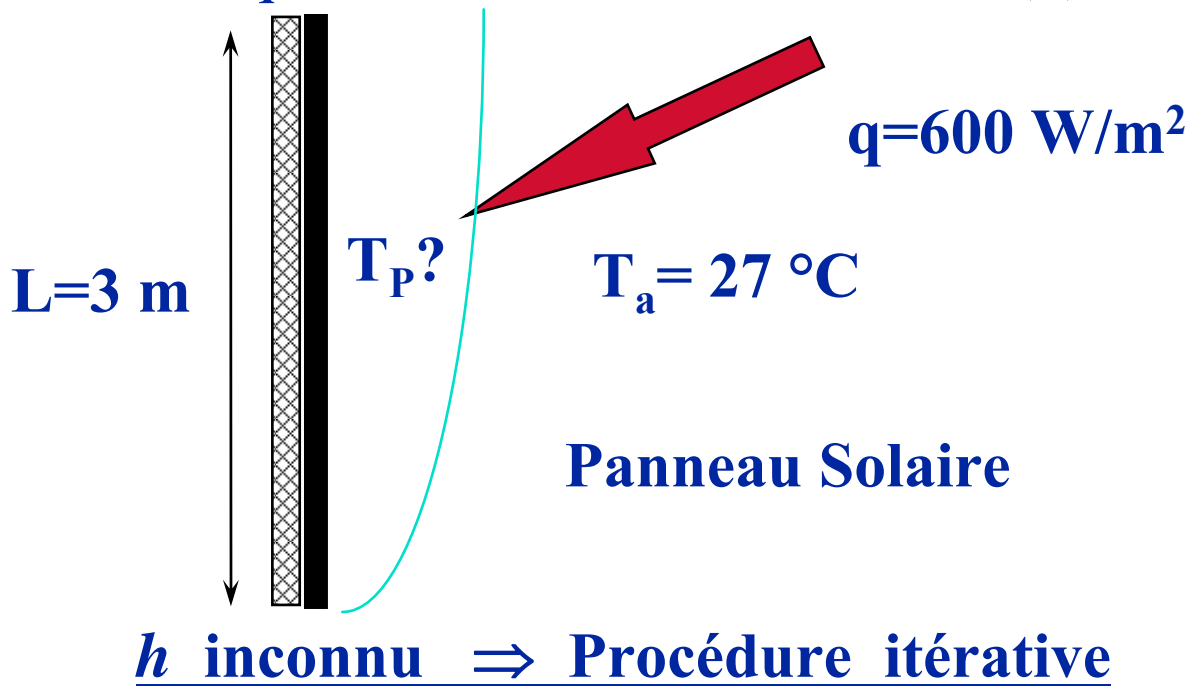


## PHENOMENES DE TRANSPORT

### TRANSPORT D'ENERGIE

#### *CONVECTION NATURELLE*

Plaque verticale à flux constant (2)



❖ **Itération 1:** se donner  $h^{(1)} = 6 \text{ W/m}^2 \cdot \text{K}$

- $T_p^{(1)} = q/h^{(1)} + T_a = 127^\circ\text{C} \rightarrow T_f^{(1)} = 77^\circ\text{C}$
- $\text{Ra}_L^{(1)} = 7,3 \cdot 10^{13} \rightarrow \text{Nu}_L^{(1)} = 0,645 \text{Ra}^{0,22} = 724$

❖ **Itération 2:**  $h^{(2)} = 7,24 \text{ W/m}^2 \cdot \text{K}$

- $T_p^{(2)} = 110^\circ\text{C}$  et  $T_f^{(2)} = 68,4^\circ\text{C}$
- *etc* ....

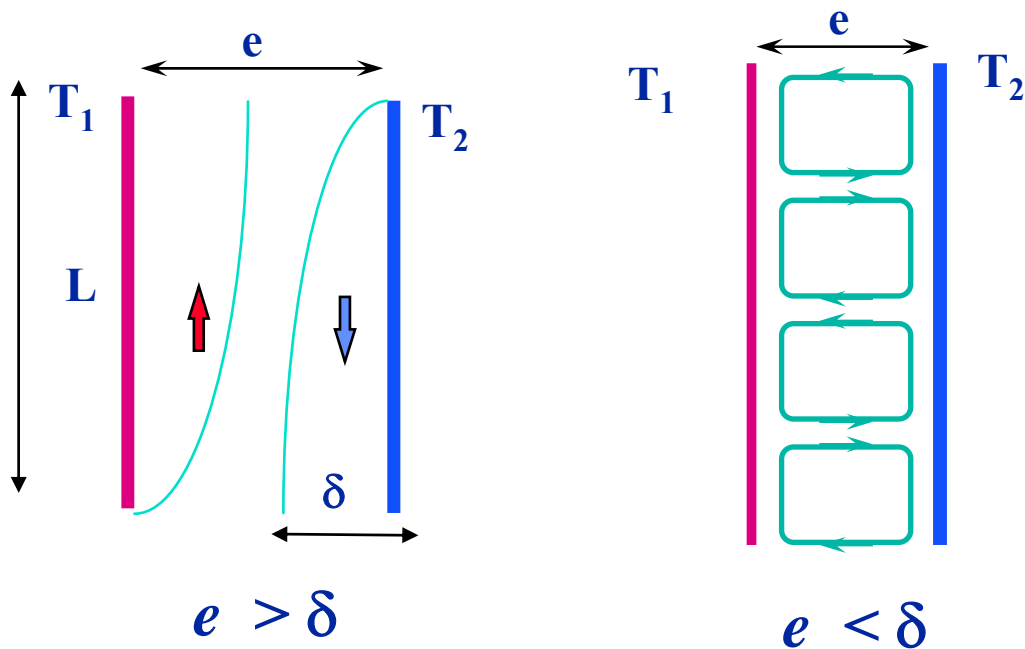


## PHENOMENES DE TRANSPORT

### TRANSPORT D'ENERGIE

#### *CONVECTION NATURELLE*

#### Lame verticale en espace confiné



Effet de *Ra* et *L/e*

Effet de *Ra*

#### ❖ Nombre de Rayleigh critique

$$Ra_e^* = 2000$$

#### ❖ Conductibilité effective

$$Nu_e = \frac{k_e}{k_f} = C \cdot Ra_e^n \cdot \left[ \frac{L}{e} \right]^{-m}$$

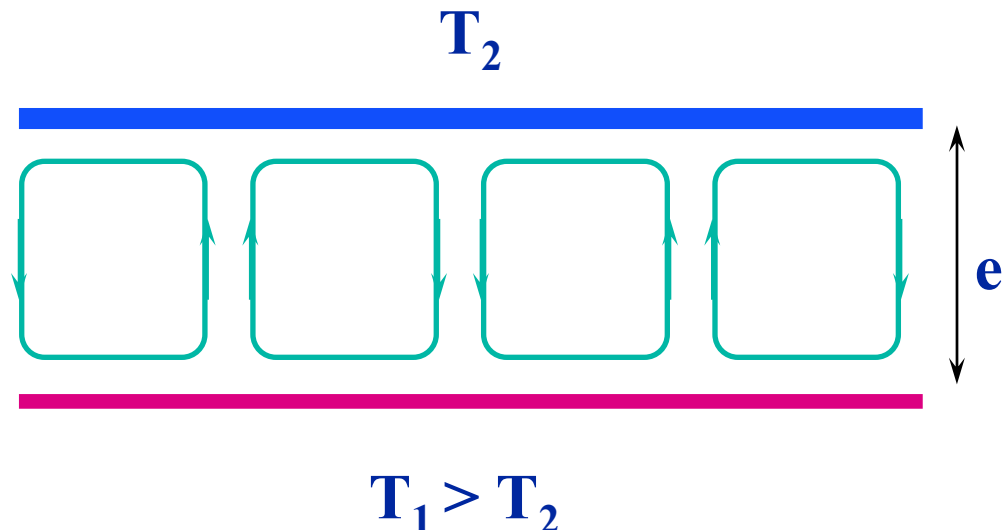


## PHENOMENES DE TRANSPORT

### TRANSPORT D'ENERGIE

#### *CONVECTION NATURELLE*

##### Lame horizontale en espace confiné



##### ❖ Nombre de Rayleigh critique

$$Ra_e^* = 1700$$

##### ❖ Conductibilité effective

$$Nu_e = \frac{k_e}{k_f} = C \cdot Ra_e^n$$



## PHENOMENES DE TRANSPORT

# TRANSPORT D'ENERGIE CONVECTION

### Synthèse

$$q_p = h \cdot (T_p - T_f) \quad \Rightarrow \quad \text{Nu} = \frac{h \cdot L_f}{k_f}$$

❖ Convection Forcée  $\text{Re} = \frac{U \cdot L_f}{\nu}$

☞ Écoulements externes  $\text{Nu}_L = A \cdot \text{Pr}^n \text{Re}_L^m$

☞ Écoulements internes

✓ Laminaire  $\text{Nu}_D = C^{te}$

✓ Turbulent  $\text{Nu}_D = A \cdot \text{Pr}^n \text{Re}_D^m$

❖ Convection Naturelle  $\text{Ra} = \frac{\beta g \Delta T L_f^3}{\nu \alpha}$

☞ Écoulements externes  $\text{Nu}_L = C \cdot \text{Ra}_L^m$

☞ Écoulements confinés  $\text{Ra} > \text{Ra}^*$

$$\text{Nu}_e = C \cdot \text{Ra}_e^n \cdot \left[ \frac{L}{e} \right]^{-m}$$



## PHENOMENES DE TRANSPORT

### TRANSPORT D'ENERGIE *CONVECTION MIXTE*

#### ❖ Écoulement

◆ Forcé  $U_0$  et Libre:  $\Delta T$

◆ Critères

☞ Convection forcée

$$\frac{Gr}{Re^2} \ll 1 \quad \Rightarrow \quad Nu = Nu(Re, Pr)$$

☞ Convection mixte

$$\frac{Gr}{Re^2} \approx 1 \quad \Rightarrow \quad Nu = Nu(Re, Gr, Pr)$$

☞ Convection naturelle

$$\frac{Gr}{Re^2} \gg 1 \quad \Rightarrow \quad Nu = Nu(Gr, Pr)$$



## PHENOMENES DE TRANSPORT

# TRANSPORT D'ENERGIE *CONVECTION FORCÉE*

## Analogie avec le frottement

### Plaque plane

- ❖ Frottement : couche limite laminaire

$$C_f(x) = \frac{C^{te}}{\sqrt{Re_x}}$$

- ❖ Nombre de Stanton

$$St_x = \frac{h_x}{\rho_f C_p f U_{ext}} = \frac{\text{convection}}{\Delta(\text{enthalpie})}$$

$$St_x = \frac{Nu_x}{Re_x \cdot Pr} = \frac{0,332 \cdot Pr^{-2/3}}{\sqrt{Re_x}}$$

- ❖ Analogie de Colburn

$$St_x \cdot Pr^{2/3} = \frac{C_f}{2}$$

- 👉 Valable aussi en turbulent



## PHENOMENES DE TRANSPORT

# TRANSPORT D'ENERGIE *RAYONNEMENT THERMIQUE*

### Généralités

#### ❖ Le comportement d'un corps

Dès que  $T > 0 \text{ K}$   $\Rightarrow$  Emittance  $M(T, \lambda)$

#### ◆ Rayonnement électromagnétique

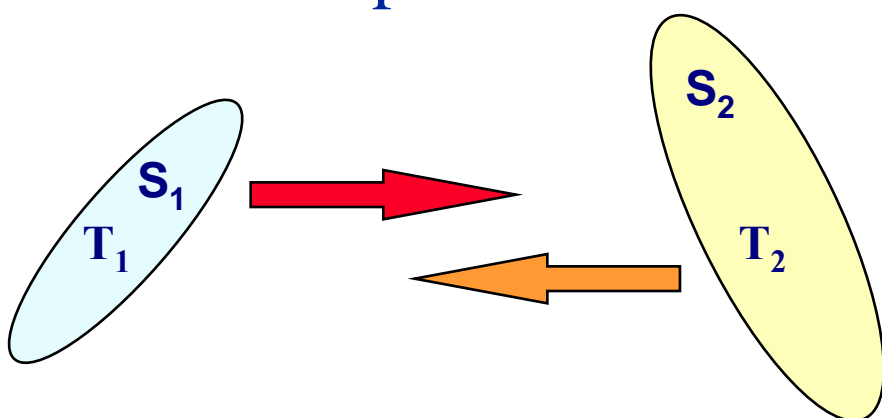
$$0,3 \text{ } \mu\text{m} \leq \lambda \leq 1000 \text{ } \mu\text{m}$$

$\leftarrow$  Infrarouge  $\rightarrow$

#### ☞ Contenu énergétique

$$E_{ph} = \frac{\hbar C_o}{n\lambda}$$

#### ◆ Source et récepteur



## PHENOMENES DE TRANSPORT

# TRANSPORT D'ENERGIE *RAYONNEMENT THERMIQUE*

## Définitions des grandeurs

### ❖ Grandeur monochromatique

- ◆ Relative à un  $\lambda$

### ❖ Grandeur totale

- ◆ Relative à l'ensemble du spectre

$$\int_0^{\infty} (\ ) \cdot d\lambda$$

### ❖ Grandeur directionnelle

- ◆ Relative à une direction  $Ox$

### ❖ Grandeur hémisphérique

- ◆ Relative à l'ensemble des directions

$$\int_0^{2\pi sr} (\ ) \cdot d\Omega$$



## PHENOMENES DE TRANSPORT

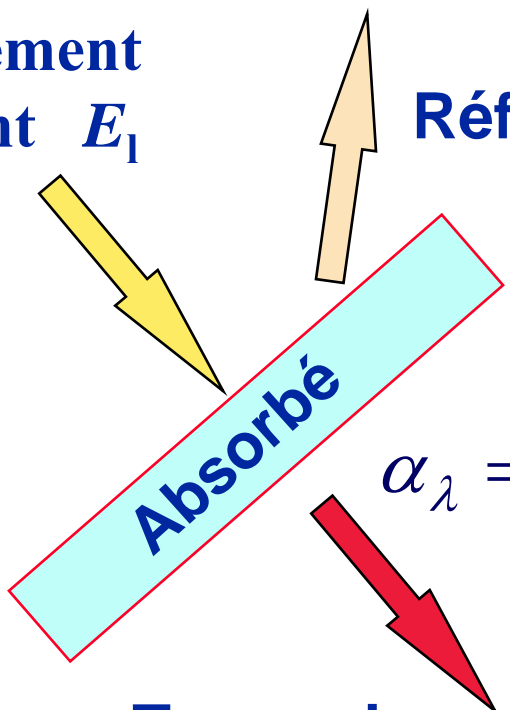
# TRANSPORT D'ENERGIE *RAYONNEMENT THERMIQUE*

## Récepteur

Éclairement  
Incident  $E_\lambda$

Réfléchi

$$r_\lambda = \frac{q_{r,\lambda}}{E_\lambda}$$



$$\alpha_\lambda = \frac{q_{a,\lambda}}{E_\lambda}$$

Transmis

$$\tau_\lambda = \frac{q_{t,\lambda}}{E_\lambda}$$

❖ Bilan énergétique

$$\alpha_\lambda + \tau_\lambda + r_\lambda = 1$$



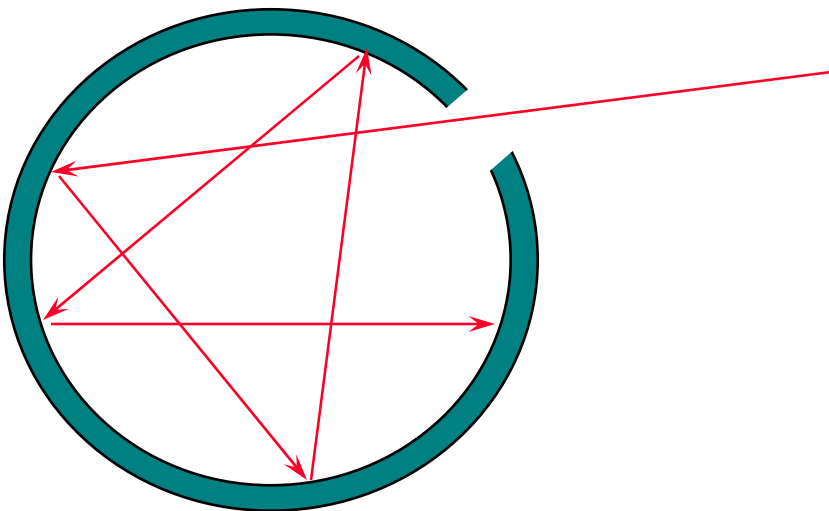
## PHENOMENES DE TRANSPORT

# TRANSPORT D'ENERGIE *RAYONNEMENT THERMIQUE*

## Récepteur

### ❖ Propriétés

- ◆ Corps diathermane:  $\tau_\lambda = 1$
- ◆ Corps athermane:  $\tau_\lambda = 0$
- ◆ Corps noir:  $\alpha_\lambda = 1$



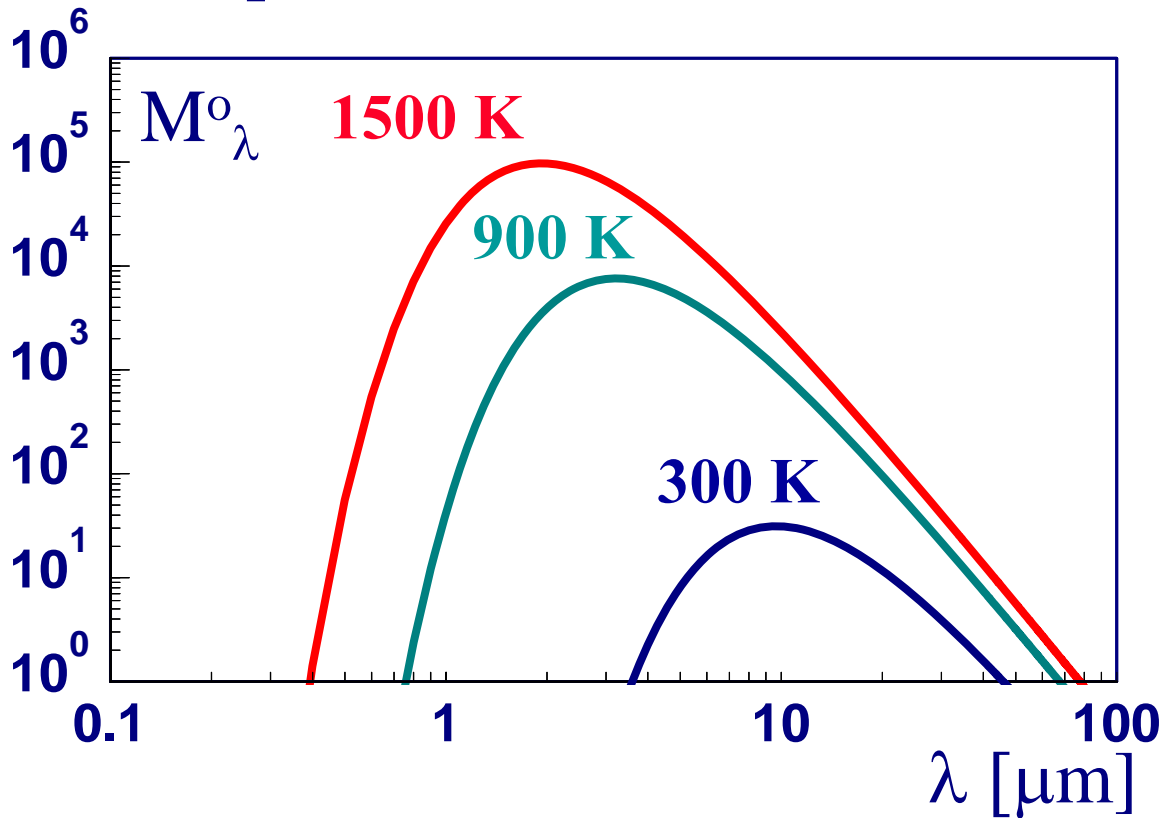
- ◆ Corps gris  $\alpha_\lambda = \sigma$



# TRANSPORT D'ENERGIE *RAYONNEMENT THERMIQUE*

## L'émetteur

❖ Le corps noir



◆ Stefan-Boltzmann

$$M^o = \int_0^\infty M_\lambda^o d\lambda = \sigma T^4$$

$$\sigma = 5,67 \times 10^{-8} [\text{W} / \text{m}^2 \cdot \text{K}^4]$$



## PHENOMENES DE TRANSPORT

# TRANSPORT D'ENERGIE RAYONNEMENT THERMIQUE L'émission

- ❖ Échauffement d'un matériau

IR  $\Rightarrow$  Visible  $\Rightarrow$  Lumière blanche

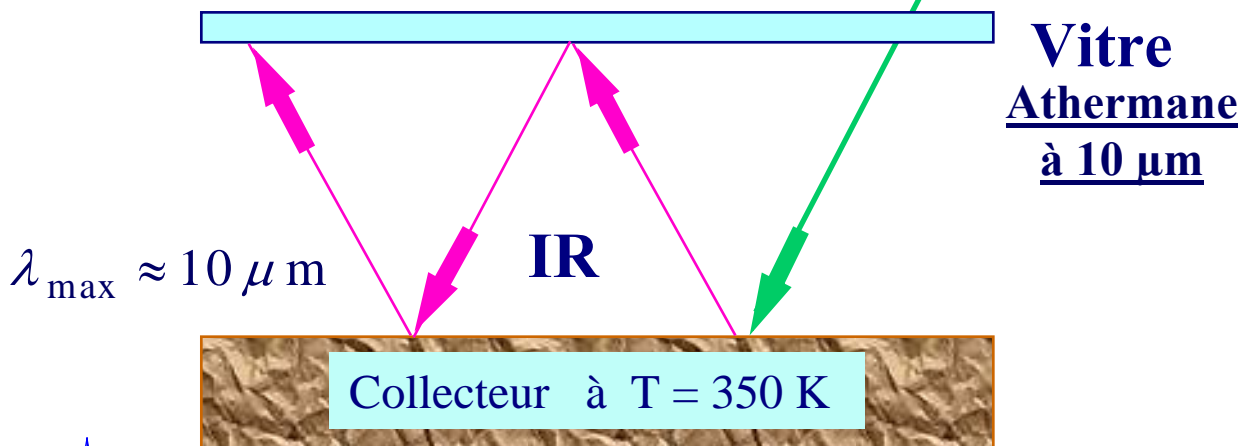
- ❖ Énergie solaire dans le visible

◆  $0,4 \text{ } \mu\text{m} \leq \lambda \leq 0,8 \text{ } \mu\text{m}$

$$\frac{\int_{0,4}^{0,8} M_\lambda^o d\lambda}{\int_0^\infty M_\lambda^o d\lambda} = 0,46$$

$\lambda_{\max} \approx 1 \mu\text{m}$

- ❖ Effet de serre



## PHENOMENES DE TRANSPORT

### TRANSPORT D'ENERGIE *RAYONNEMENT THERMIQUE*

#### L'émission

##### ❖ L'émissivité

$$0 \leq \varepsilon_\lambda = \frac{M_\lambda}{M_\lambda^o} \leq 1$$

- ◆ Loi de Kirchhoff       $\alpha_\lambda = \varepsilon_\lambda$
- ◆ Corps réel                 $\varepsilon(T, \lambda, \vartheta)$
- ◆ Corps gris                 $\alpha = \varepsilon$
- ◆ Corps noir                 $\alpha = \varepsilon = 1$



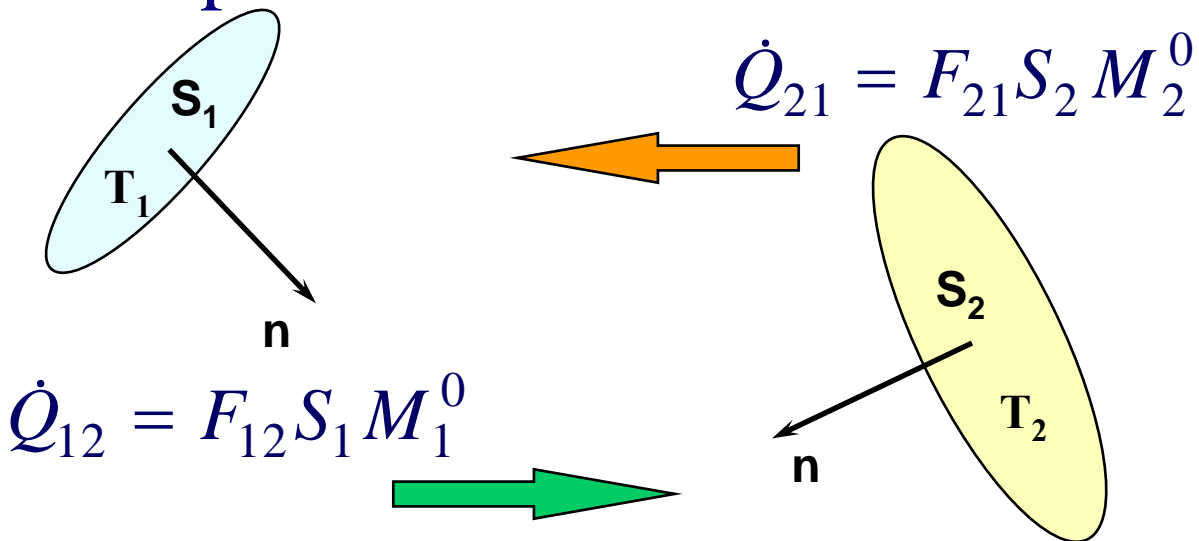
## PHENOMENES DE TRANSPORT

### TRANSPORT D'ENERGIE

#### *Rayonnement Thermique*

#### Echange thermique

##### ❖ Corps noirs



##### ◆ Réciprocité: Facteurs de forme

$$F_{12}S_1 = F_{21}S_2$$

##### ◆ Flux de chaleur échangé

$$\Delta\dot{Q}_{12} = F_{12}S_1\sigma(T_1^4 - T_2^4)$$

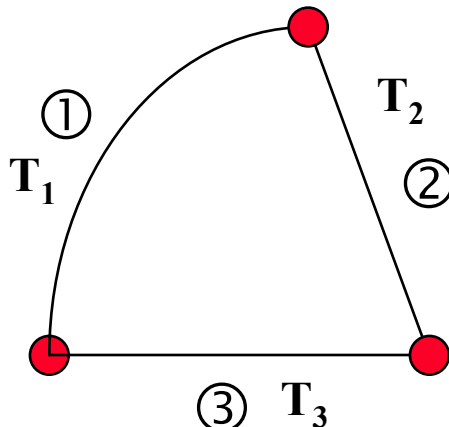


## PHENOMENES DE TRANSPORT

### TRANSPORT D'ENERGIE

#### *Rayonnement Thermique*

#### Cavité de corps noirs



$$\sum_{j=1}^N F_{ij} = 1$$

❖ Flux émis par ①

$$\dot{Q}_1 = F_{11}\dot{Q}_1 + F_{12}\dot{Q}_2 + F_{13}\dot{Q}_3$$

❖ Flux reçu par ①

$$\dot{Q}_1^r = F_{11}\dot{Q}_1 + F_{21}\dot{Q}_2 + F_{31}\dot{Q}_3$$

❖ Flux net échangé par ①

$$\dot{Q}_1^{net} = F_{12}\dot{Q}_1 - F_{21}\dot{Q}_2 + F_{13}\dot{Q}_1 - F_{31}\dot{Q}_3$$

$$= F_{12}S_1M_1^0 - F_{21}S_2M_2^0 + F_{13}S_1M_1^0 - F_{31}S_3M_3^0$$

$$\dot{Q}_1^{net} = F_{12}S_1\sigma \cdot (T_1^4 - T_2^4) + F_{13}S_1\sigma \cdot (T_1^4 - T_3^4)$$



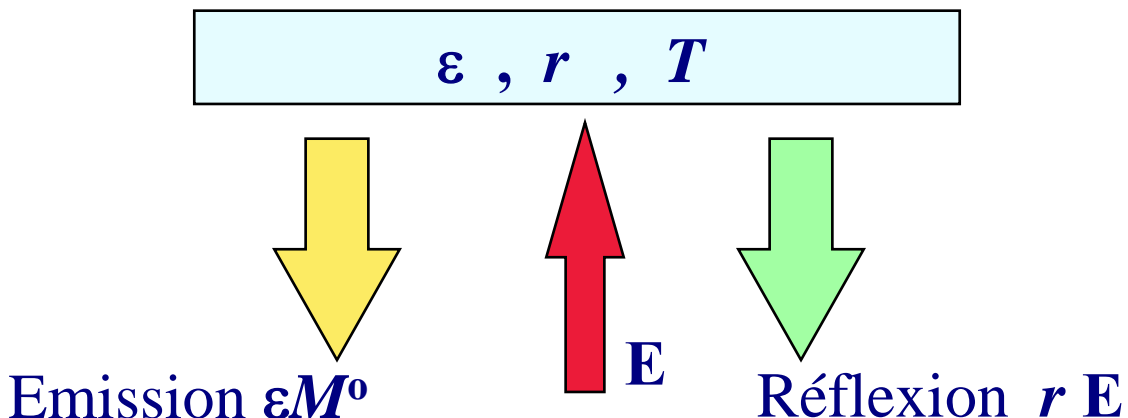
## PHENOMENES DE TRANSPORT

### TRANSPORT D'ENERGIE

#### *Rayonnement Thermique*

#### Echange thermique

#### ❖ Corps gris



#### ◆ La Radiosité

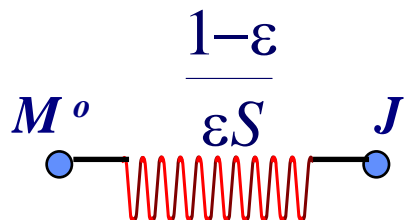
$$J = \varepsilon M^o + rE$$

$$J = \varepsilon M^o + (1 - \varepsilon)E \rightarrow E = (J - \varepsilon M^o) / (1 - \varepsilon)$$

#### ◆ Flux de chaleur perdu ( $\alpha = \varepsilon$ )

$$q_L = \varepsilon M^o - \alpha E = \varepsilon M^o - \varepsilon E$$

$$\dot{Q}_L = \frac{\varepsilon S}{1 - \varepsilon} (M^o - J)$$



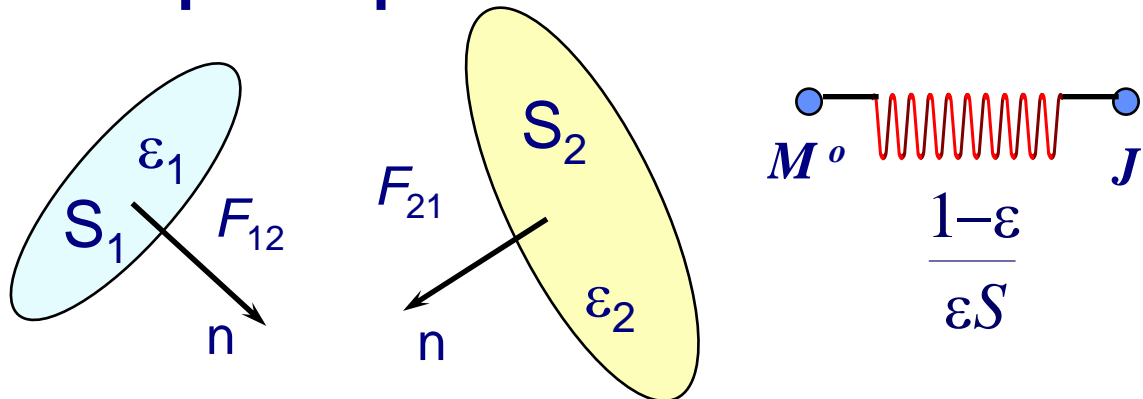
## PHENOMENES DE TRANSPORT

### TRANSPORT D'ENERGIE

#### *Rayonnement Thermique*

Schémas analogiques

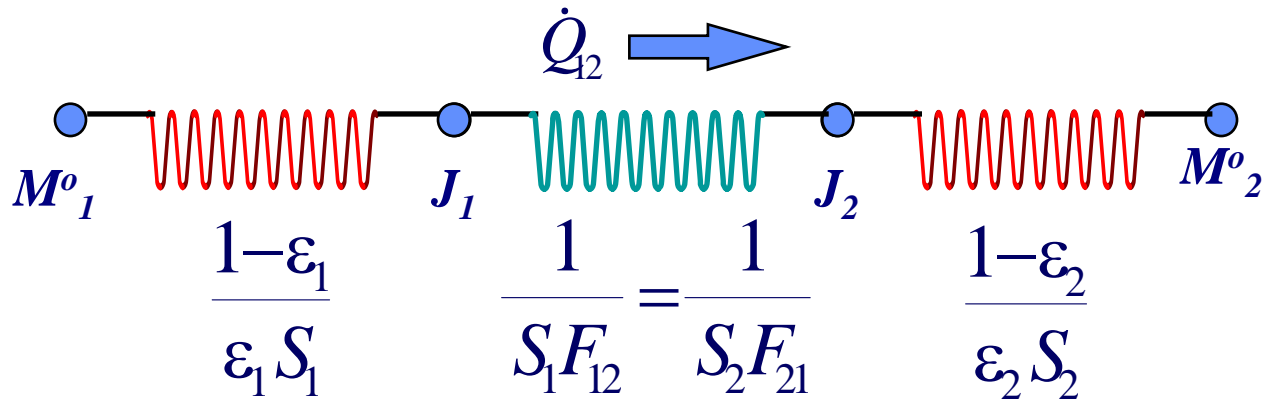
#### ❖ Flux perdu par $S$



#### ❖ Flux échangé entre $S_1$ et $S_2$

$$\dot{Q}_{12} = S_1 F_{12} (J_1 - J_2)$$

#### ❖ Schéma électrique final



\*  $M^\circ$  = Potentiel et  $\dot{Q}_{12}$  = Courant



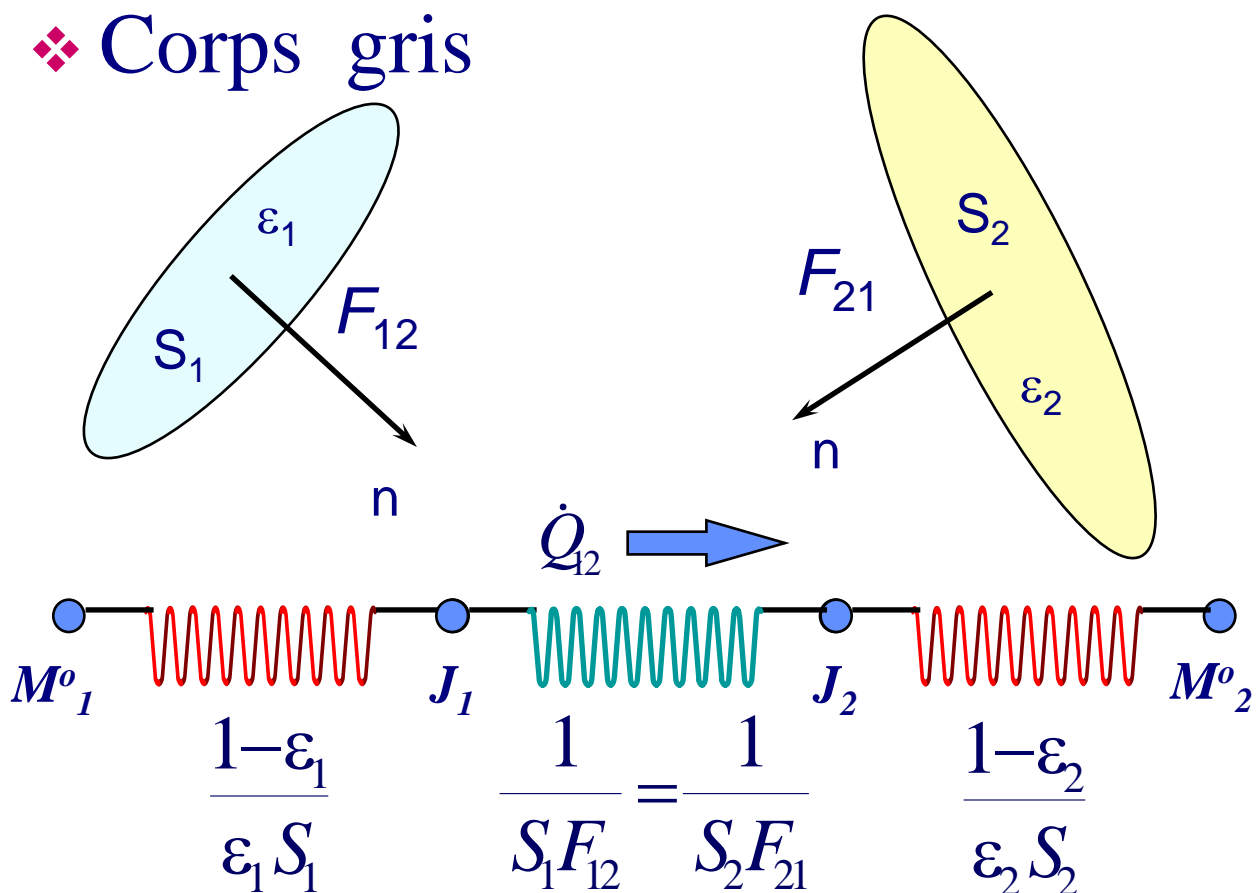
## PHENOMENES DE TRANSPORT

### TRANSPORT D'ENERGIE

*Rayonnement Thermique*

Echange thermique

❖ Corps gris



◆ Flux de chaleur  $M^o = \sigma T^4$

$$\dot{Q}_{12} = \frac{M_1^o - M_2^o}{\frac{1-\varepsilon_1}{\varepsilon_1 S_1} + \frac{1}{S_1 F_{12}} + \frac{1-\varepsilon_2}{\varepsilon_2 S_2}}$$



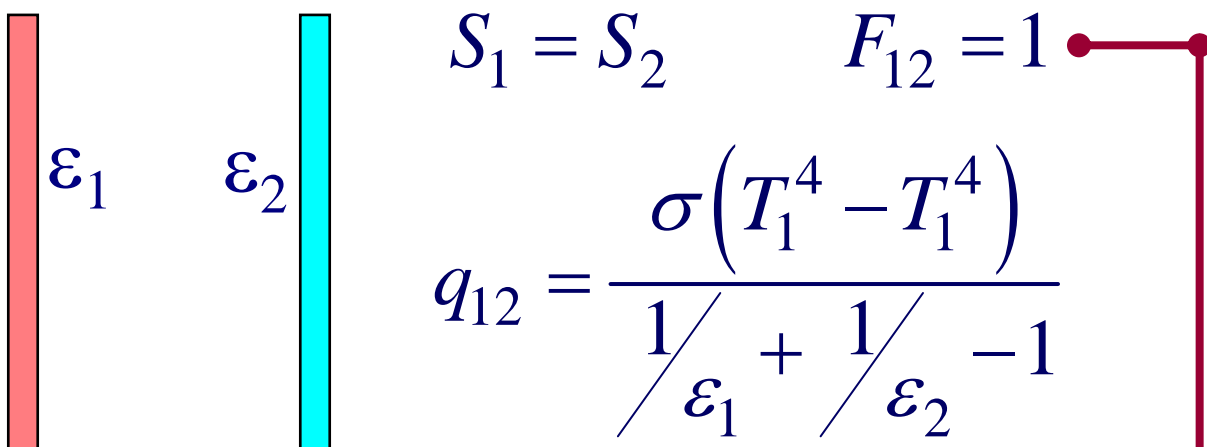
## PHENOMENES DE TRANSPORT

### TRANSPORT D'ENERGIE

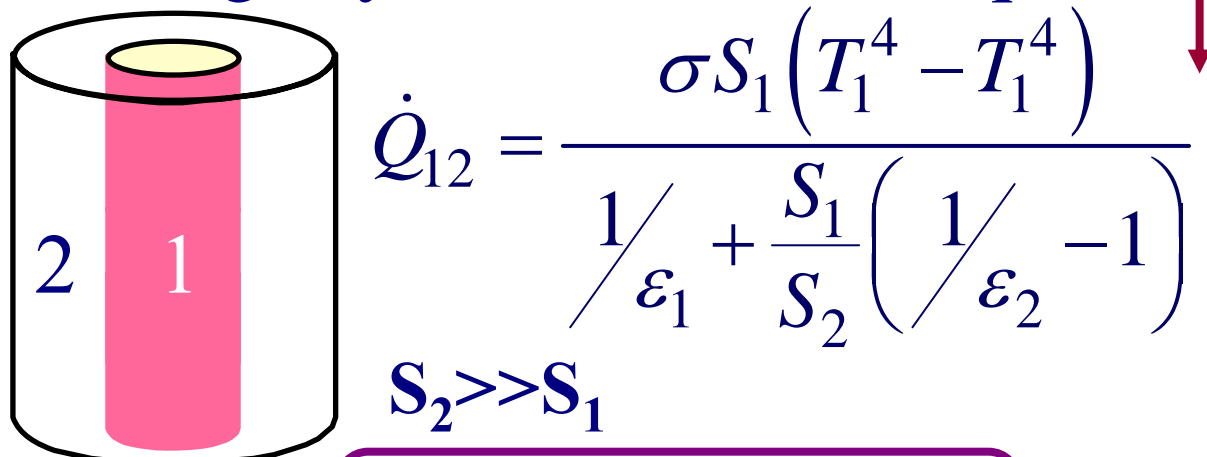
#### *Rayonnement Thermique*

##### Echange thermique

- ❖ Corps gris: Applications
- ◆ Plans // infinis



- ◆ Longs cylindres concentriques



$$q_{12} = \varepsilon_1 \sigma (T_1^4 - T_2^4)$$



## PHENOMENES DE TRANSPORT

### TRANSPORT D'ENERGIE

#### *Rayonnement Thermique*

- ❖ Densité de flux de chaleur

$$q_{12} = G(\varepsilon, F) \sigma (T_1^4 - T_2^4)$$

$$q_{12} = h_r (T_1 - T_2)$$

- ❖ Le coefficient de transfert de chaleur

$$h_r = G(\varepsilon, F) \sigma (T_1^2 + T_2^2) (T_1 + T_2)$$

- ❖ Aux faibles températures

$$h_r \approx 5 - 10 \text{ W / m}^2\text{K}$$

👉 Comparable aux valeurs de  $h_{cn}$

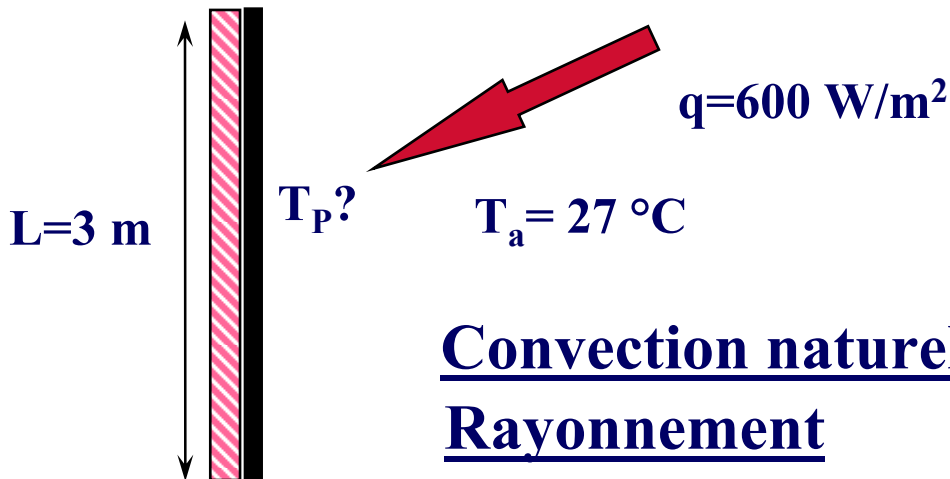


## PHENOMENES DE TRANSPORT

### TRANSPORT D'ENERGIE

#### *Rayonnement Thermique*

##### ■ PANNEAU SOLAIRE



##### ❖ Procédure itérative

- ☞  $T_f^{(1)} = 48^\circ\text{C} \rightarrow$  Prop. Thermo-Phy.
  - ☞  $h_c^{(1)} = 7,4$  et  $h_r^{(1)} = 7,2\text{ W/m}^2.\text{K}$
  - ☞  $T_p^{(1)} = q/h_t^{(1)} + T_a = 68,1^\circ\text{C}$
  - ☞  $T_f^{(2)} = 0.5(T_p^{(1)} + T_a) = 45,6^\circ\text{C} \rightarrow$  Prop
  - ☞  $h_c^{(2)} = 7,44$  et  $h_r^{(2)} = 7,13\text{ W/m}^2.\text{K}$
- ☞  $T_p^{(2)} = q/h_t^{(2)} + T_a = 68,2^\circ\text{C}$

☞  $T_p$  sans rayonnement =  $110^\circ\text{C}$  !!!  
VKI - ULB

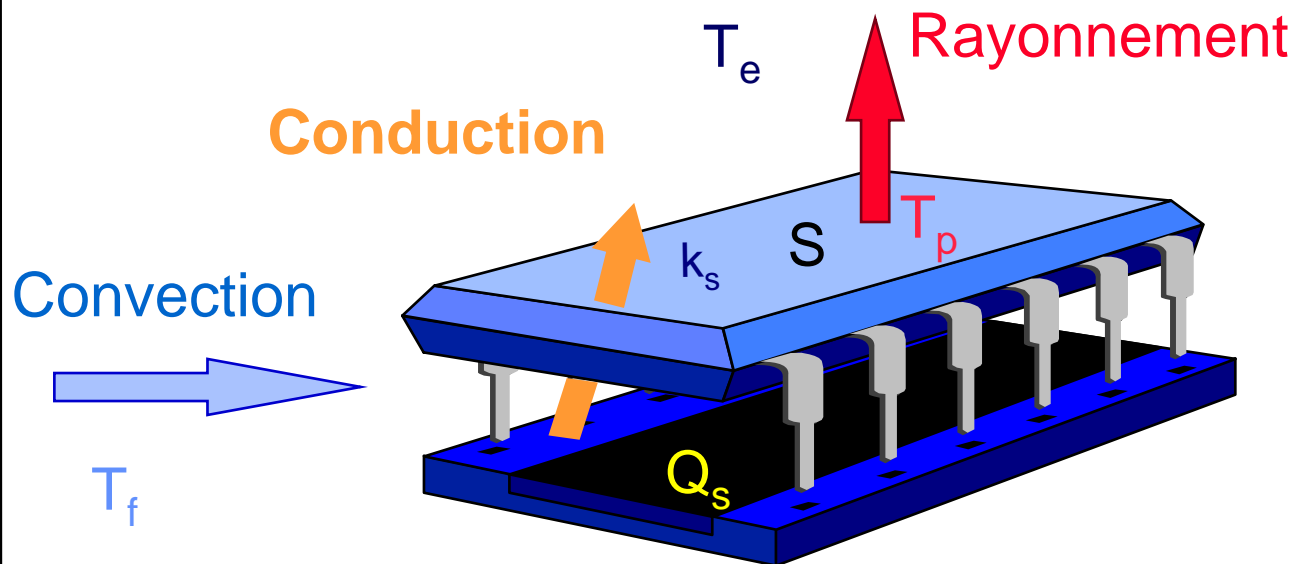


## PHENOMENES DE TRANSPORT

### TRANSPORT D'ENERGIE

*Transfert de Chaleur*

Les trois modes



Bilan Energétique

$$- k_s S \frac{dT}{dy} \Big|_p = h_{cv} \cdot S (T_p - T_f) + G(\varepsilon, F) \sigma S (T_p^4 - T_e^4)$$



## PHENOMENES DE TRANSPORT

# TRANSPORT D'ENERGIE

*Conservation de l'énergie*

❖ Formes locales et intégrales

◆ Énergie totale

➤ Puissance des forces extérieures

◆ Énergie mécanique

➤ Puissance des forces internes

*Travail*  *Chaleur*

*Irréversibilité*

◆ Énergie interne

◆ Entropie



## PHENOMENES DE TRANSPORT

# TRANSPORT D'ENERGIE

*Conservation de l'énergie*

## ❖ Grandeurs physiques

➤ Vitesse	$\vec{V}$
➤ Pression	$P$
➤ Masse volumique	$\rho$
➤ Température	$T$

## ❖ 1<sup>er</sup> Principe de la Thermodynamique

$$\frac{DE_T}{Dt} = \frac{D}{Dt}[E_I + E_c] = \dot{Q} + \bar{\dot{W}}$$

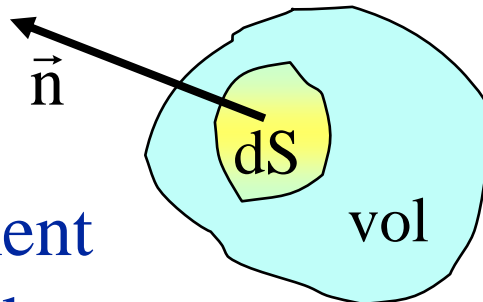
➤ Énergie interne	$E_I$
➤ Énergie cinétique	$E_c$
➤ Chaleur/temps	$\dot{Q}$
➤ Travail/temps	$\bar{\dot{W}}$



## PHENOMENES DE TRANSPORT

### TRANSPORT D'ENERGIE

*Conservation de l'énergie*



❖ Fluide en mouvement

◆ Énergie par unité de masse

👉  $e_I$  et  $e_C = \frac{1}{2}V^2$

$$\frac{DE_T}{Dt} = \int_{vol} \rho \frac{D}{Dt} \left[ e_I + \frac{1}{2} V^2 \right] d(vol)$$

◆ Quantité de chaleur

👉 Conduction + Source

$$\dot{Q} = - \int_S \vec{q} \cdot \vec{n} dS + \int_{vol} \dot{Q}_v d(vol)$$

Soit

$$\dot{Q} = - \int_{vol} [\nabla \cdot \vec{q} - \dot{Q}_v] d(vol)$$



## PHENOMENES DE TRANSPORT

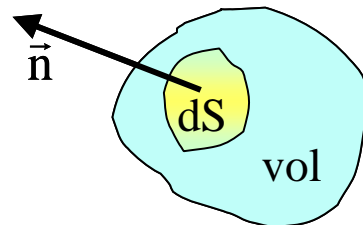
# TRANSPORT D'ENERGIE

## *Conservation de l'énergie*

### ❖ Puissance des forces extérieures

- ◆ Forces de surface

$$\overline{\dot{W}_{fs}} = - \int_S (\bar{\sigma} \cdot \vec{n}) \cdot \vec{V} dS$$



- 👉 Décomposition des contributions

$$\nabla \cdot (\bar{\sigma} \cdot \vec{V}) = \nabla \cdot (PV) + \nabla \cdot (\bar{\tau} \cdot \vec{V})$$

- ◆ Forces de volume

$$\overline{\dot{W}_{fv}} = \int_{vol} \rho \vec{F} \vec{V} d(vol)$$

- ◆ Puissance totale

$$\overline{\dot{W}_e} = - \int_{vol} [\nabla \cdot (\bar{\sigma} \cdot \vec{V}) - \rho \vec{F} \vec{V}] d(vol)$$



## PHENOMENES DE TRANSPORT

### TRANSPORT D'ENERGIE

*Conservation de l'énergie*

❖ Équation de l'énergie totale

Énergie totale

$$\frac{DE_T}{Dt}$$

=

Interne + Cinétique

$$\rho \frac{D}{Dt} \left[ e_I + \frac{1}{2} V^2 \right]$$

=

Chaleur par diffusion

$$-\nabla \cdot \vec{q}$$

+

Puissance due à la pression

$$-\nabla \cdot (p \vec{V})$$

+

Puissance due à la viscosité

$$-\nabla \cdot (\bar{\tau} \vec{V})$$

+

Puissance des forces de volume

$$\rho \vec{F} \vec{V}$$

+

Sources thermiques

$$\dot{Q}_v$$



## PHENOMENES DE TRANSPORT

# TRANSPORT D'ENERGIE

## *L'Énergie Mécanique*

### L' Irréversibilité

- ❖ Quantité de mouvement x Vitesse

$$\rho \vec{V} \frac{D\vec{V}}{Dt} = \rho \frac{D}{Dt} \left[ \frac{\vec{V}^2}{2} \right] = - \vec{V} \nabla P - \vec{V} \nabla \cdot \vec{\tau} + \rho \vec{F} \vec{V}$$

- ❖ Contribution des forces de surface

$$\vec{V} \nabla p = \nabla \cdot (p \vec{V}) - p \nabla \cdot \vec{V}$$

$$\vec{V} \nabla \cdot \vec{\tau} = \nabla \cdot (\vec{\tau} \vec{V}) - \vec{\tau} : \nabla \vec{V}$$

- ❖ Forme Finale

Produit diadique

### Puissance des forces externes

$$\frac{\rho}{2} \frac{D\vec{V}^2}{Dt} = \underbrace{\rho \vec{F} \vec{V} - \nabla \cdot (p \vec{V}) - \nabla \cdot (\vec{\tau} \vec{V})}_{+ p \nabla \cdot \vec{V} + \vec{\tau} : \nabla \vec{V}}$$

### Puissance des forces internes



## PHENOMENES DE TRANSPORT

# TRANSPORT D'ENERGIE

## *L'Énergie Mécanique*

### L' Irréversibilité

- ❖ Énergie mécanique  $\leftrightarrow$  Chaleur

$$p \nabla \cdot \vec{V} \leq 0 \quad \text{ou} \quad \geq 0$$

- ◆ Fluide compressible

👉 Compression  $\Rightarrow e_C \downarrow \Rightarrow T \nearrow$

👉 Détente  $\Rightarrow e_C \nearrow \Rightarrow T \downarrow$

- ❖ Dissipation visqueuse  $\rightarrow$  Chaleur

$$\phi_v = -\frac{1}{\mu} \left[ \tau : \nabla \vec{V} \right] > 0$$

👉 Dégradation de  $E_C$

👉 2<sup>ème</sup> Principe de la Thermodynamique



## PHENOMENES DE TRANSPORT

# TRANSPORT D'ENERGIE

## *L'Énergie Mécanique*

Énergie de dissipation visqueuse

### ❖ Fonction de dissipation

$$-\mu\phi_v = \nabla \cdot (\vec{\tau} \vec{V}) - \vec{V} \nabla \cdot \vec{\tau}$$

### ❖ Champ de vitesse:

$$\vec{V} = [u(y), 0]$$

### ❖ Tenseur des contraintes visqueuses

$$\vec{\tau} = \begin{pmatrix} 0 & \tau_{xy} \\ \tau_{xy} & 0 \end{pmatrix}$$

### ❖ Résultat

$$-\mu\phi_v = \frac{d}{dy}(u\tau_{xy}) - u \frac{d}{dy}(\tau_{xy})$$

### ◆ Soit

$$\phi_v = -\frac{\tau_{xy}}{\mu} \frac{du}{dy} = \left( \frac{du}{dy} \right)^2$$



## PHENOMENES DE TRANSPORT

# TRANSPORT D'ENERGIE

## *L'Énergie Mécanique*

### ❖ Équation de l'énergie mécanique

Énergie mécanique

=

$$\rho \frac{D}{Dt} \left[ \frac{V^2}{2} \right]$$

Puissance des forces  
extérieures

$$\left\{ \begin{array}{l} -\nabla \cdot (p \vec{V}) \\ -\nabla \cdot (\bar{\tau} \vec{V}) \\ + \rho \vec{F} \vec{V} \end{array} \right.$$

+

Puissance des forces  
internes

$$\left\{ \begin{array}{l} p \nabla \cdot \vec{V} \\ = \\ + \tau : \nabla \vec{V} \end{array} \right.$$



## PHENOMENES DE TRANSPORT

# TRANSPORT D'ENERGIE

## *L'Énergie Interne*

- ❖ Énergie totale – Energie mécanique

$$\rho \frac{De_I}{Dt} = -\nabla \cdot \vec{q} - p\nabla \cdot \vec{V} + \mu\phi_v + \dot{Q}_v$$

- ◆ + Loi de Fourier

$$\rho \frac{De_I}{Dt} = \nabla \cdot [k\nabla T] - p\nabla \cdot \vec{V} + \mu\phi_v + \dot{Q}_v$$

- ❖ Équation de la chaleur

- ◆ Gaz Parfaits  $\partial e_I = C_V \partial T$

$$\rho C_V \frac{DT}{Dt} = \nabla \cdot [k\nabla T] - p\nabla \cdot \vec{V} + \mu\phi_v + \dot{Q}_v$$

- ◆ Fluides incompressibles avec  $k = C^{\text{te}}$

$$\boxed{\rho C \frac{DT}{Dt} = k\nabla^2 T + \mu\phi_v + \dot{Q}_v}$$



## PHENOMENES DE TRANSPORT

# TRANSPORT D'ENERGIE

*Conservation de l'énergie*

Forme intégrale

Grandeur extensive  $mX$

❖ Masse  $X = 1$

❖ Quantité de mouvement  $\vec{X} = \vec{V}$

❖ Énergie totale  $X = \frac{V^2}{2} + e_I$

❖ Énergie mécanique  $X = \frac{V^2}{2}$

❖ Énergie thermique  $X = e_I$



## PHENOMENES DE TRANSPORT

# TRANSPORT D'ENERGIE

*Conservation de l'énergie*

Forme intégrale

Équation du transport

$$\rho \frac{DX}{Dt} = -\nabla \cdot \vec{\phi} + A$$

Variation  
(Taux +Advection)
Flux de diffusion  
( Surface )
Source  
( Volume )

Terme	Mouvement	Energie
X	Vecteur $\vec{V}$	Scalaire E
$\phi$	Tenseur $\bar{\sigma}$	Vecteur $\vec{q}$
A	Vecteur $\vec{F}$	Scalaire $\vec{V} \cdot \vec{F}$



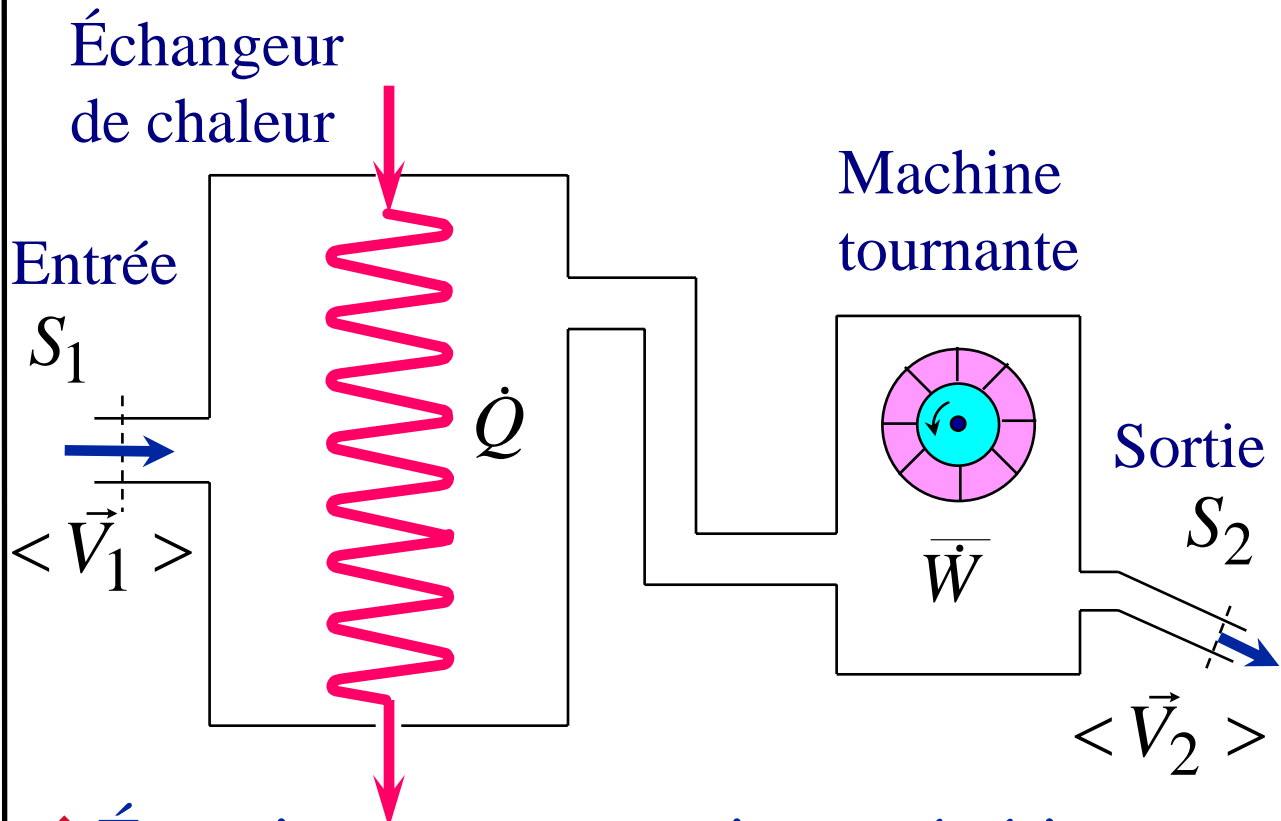
## PHENOMENES DE TRANSPORT

# TRANSPORT D'ENERGIE

*Conservation de l'énergie*

Forme intégrale

Définition du système



❖ Équation macroscopique générique

$$\frac{d[mX]_{\text{tot}}}{dt} = \Delta_1^2 \left( \langle \rho X V_n \rangle S \right)$$

$$- \int_S \varphi \cdot \vec{n}_e dS + A_{\text{tot}}$$



## PHENOMENES DE TRANSPORT

# TRANSPORT D'ENERGIE

*Conservation de l'énergie*

Forme intégrale

❖ Énergie totale

$$X = e_{\text{tot}} = e_i + e_c$$

◆ Puissance des forces extérieures

$$\bar{W}_{e,\text{tot}} = \int_{\text{vol}} \left[ -\nabla \cdot (\bar{\sigma} \cdot \vec{V}) + \rho \vec{F} \vec{V} \right] d(\text{vol})$$

◆ Quantité de chaleur

$$\dot{Q} = - \int_S \vec{q} \cdot \vec{n}_e dS + \int_{\text{vol}} \dot{Q}_v d(\text{vol})$$

◆ Équation macroscopique: N°1

$$\frac{d[E_T]_{\text{tot}}}{dt} = - \Delta_1^2 \left[ < \rho \left( \frac{V^2}{2} + e_i \right) V_n > S \right] + \dot{Q} + \bar{W}_{e,\text{tot}}$$



## PHENOMENES DE TRANSPORT

# TRANSPORT D'ENERGIE

*Conservation de l'énergie*

Forme intégrale

### ❖ Énergie totale

◆ Puissance des forces de surface

$$\int_S (\bar{\sigma} \cdot \vec{V}) \cdot \vec{n}_e dS = -\Delta_1^2 [ < PV_n > S ] + \int_{S_{mob}} (\bar{\sigma} \cdot \vec{V}) \cdot \vec{n}_e dS \quad \rightarrow \bar{\dot{W}}$$

◆ Puissance des forces de volume

$$\int_{vol} \rho \vec{F} \vec{V} d(vol) = - \int_{vol} \rho \vec{V} \nabla e_p d(vol) \\ = - \int_{vol} \rho \frac{D e_p}{D t} d(vol)$$

$$= - \frac{d [ E_p ]_{tot}}{dt} - \int_S \rho e_p \vec{V} \cdot \vec{n}_e dS$$



## PHENOMENES DE TRANSPORT

# TRANSPORT D'ENERGIE

*Conservation de l'énergie*

Forme intégrale

❖ Énergie totale: forme finale

$$\frac{d \left[ E_c + E_i + E_p \right]_{\text{tot}}}{dt} = -\Delta_1^2 \left[ < \rho \left( \frac{V^2}{2} + H + e_p \right) V_n > S \right] + \dot{Q} + \bar{\dot{W}}$$

◆ Enthalpie massique

$$H = e_i + \frac{P}{\rho}$$

☞ Gaz parfait       $\Delta H = C_p \Delta T$

☞ Liquide       $\Delta H = C \Delta T + \frac{\Delta P}{\rho}$



## PHENOMENES DE TRANSPORT

# TRANSPORT D'ENERGIE

## *Energie Mécanique*

Forme intégrale

### ❖ Écriture générale

$$\frac{d \left[ E_c + E_p \right]_{\text{tot}}}{dt} = -\Delta_1^2 \left[ < \rho \left( \frac{V^2}{2} + \frac{p}{\rho} + e_p \right) V_n > S \right] + \bar{\dot{W}} - \dot{E}_v + \int_{\text{vol}} p \nabla \cdot \vec{V} d(\text{vol})$$

### ◆ Terme d'irréversibilité

$$\dot{E}_v = \int_{\text{vol}} \mu \phi_v d(\text{vol})$$



## PHENOMENES DE TRANSPORT

# TRANSPORT D'ENERGIE

## *Énergie Mécanique*

### Forme intégrale

❖ Forme simplifiée

◆ Écoulement incompressible permanent

◆ Cas de la conduite

$$\nabla \cdot \vec{V} = 0 \quad \text{et} \quad \bar{\dot{W}} = 0$$

◆ Équation de Bernoulli généralisée

$$-\Delta_1^2 \left[ < \rho \left( \frac{V^2}{2} + \frac{p}{\rho} + e_p \right) V_n > S \right] = \dot{E}_v$$

◆ Puissance de la pompe

$$\dot{W}_{\text{pompe}} = -\Delta_1^2 \left[ << \left( \frac{P_{\text{tot}}}{\rho} \right) >> \dot{m} \right] = \dot{E}_v$$

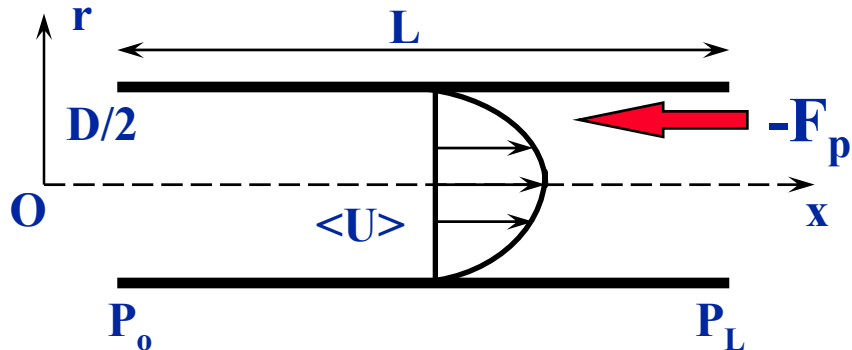


## PHENOMENES DE TRANSPORT

### TRANSPORT D'ENERGIE

#### *Énergie Mécanique*

#### Énergie de dissipation visqueuse



#### ❖ Quantité de Mouvement

◆  $S_1 = S_2$  et  $\langle U_1 \rangle = \langle U_2 \rangle$

$$F_p = (P_o - P_L)S$$

◆  $\Delta P = 0,5\lambda\rho\langle U \rangle^2 L/D$

#### ❖ Énergie Mécanique

$$\dot{E}_v = (P_o - P_L) \frac{\dot{m}}{\rho}$$

#### ◆ Puissance Dissipée

$$\dot{E}_v = \frac{\pi D L}{8} \cdot \lambda(Re, \bar{\Lambda}) \rho \langle U \rangle^3$$



## TRANSPORT D'ENERGIE

*Énergie Interne*

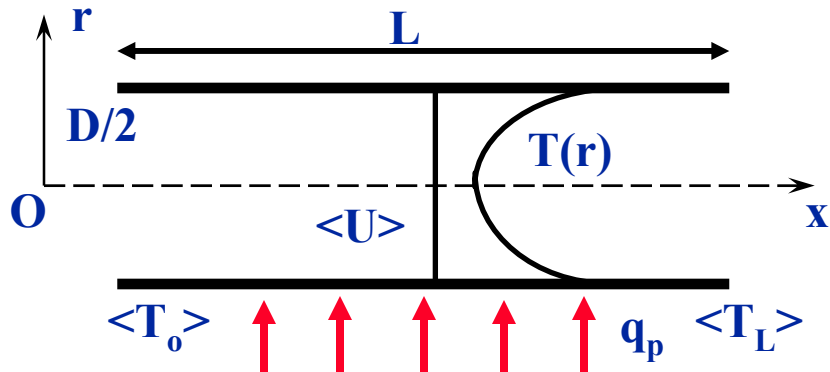
Forme intégrale

❖ Écriture générale

$$\frac{d[E_i]_{\text{tot}}}{dt} = -\Delta_1^2 \left[ \langle \rho e_i V_n \rangle S \right]$$

$$+ \dot{Q} + \dot{E}_v - \int_{\text{vol}} p \nabla \cdot \vec{V} \cdot d(\text{vol})$$

❖ Cas de l'échangeur tubulaire;  $e_i = C.T$



$$\rho \langle U \rangle \frac{\pi D^2}{4} C \Delta_o^L [ \langle T \rangle ] = \pi D L \dot{q}_p + \dot{E}_v$$

